



EP-USP

PEF2602

Estruturas na Arquitetura I I - Sistemas Reticulados



Tensoestruturas

Professores

Ruy Marcelo O. Pauletti, Leila Meneghetti Valverdes, Luís Bitencourt

1º Semestre 2019



Estrutura Retesadas ('Tensoestruturas'):

“aqueelas que requerem que seus elementos estejam rete **retesados**,
Ao invés de **frouxos** ou **enrugados**, para funcionarem a contento”

Estados de uma Tensoestrutura:



frouxo

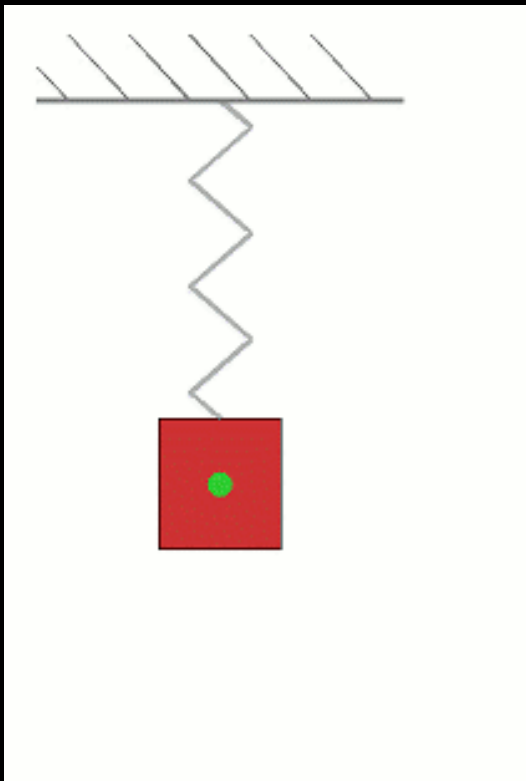


enrugado



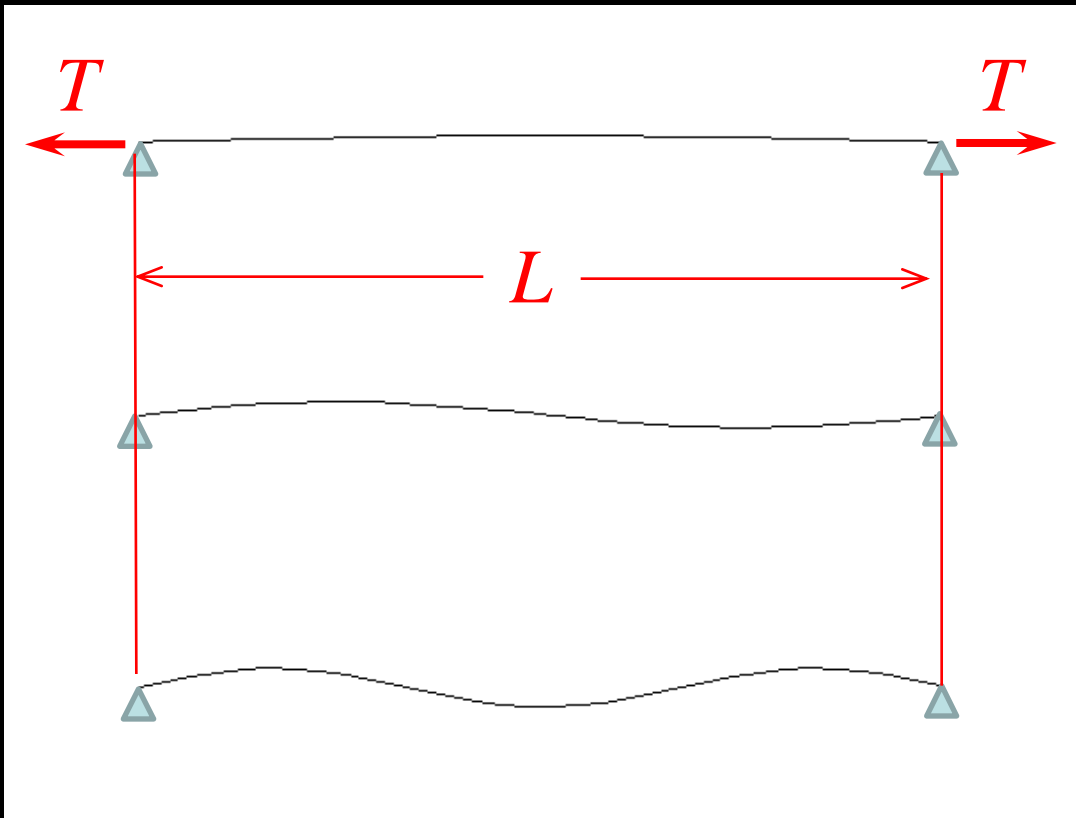
retesado

Um sistema massa-mola:



$$f = \frac{1}{2\pi} \sqrt{\frac{k}{m}}$$

Uma corda vibrando:

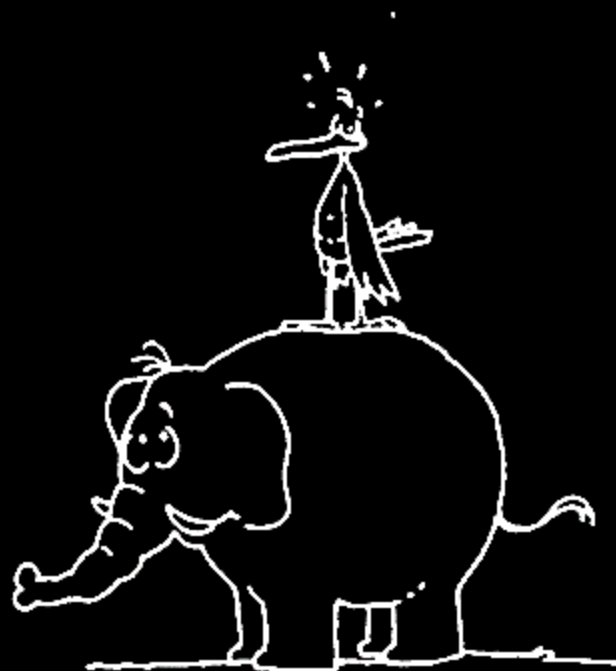


$$f = n\pi \sqrt{\frac{\left(\frac{T}{L}\right)}{m}}$$

‘rigidez geométrica’

$$k_g \sim \frac{T}{L}$$

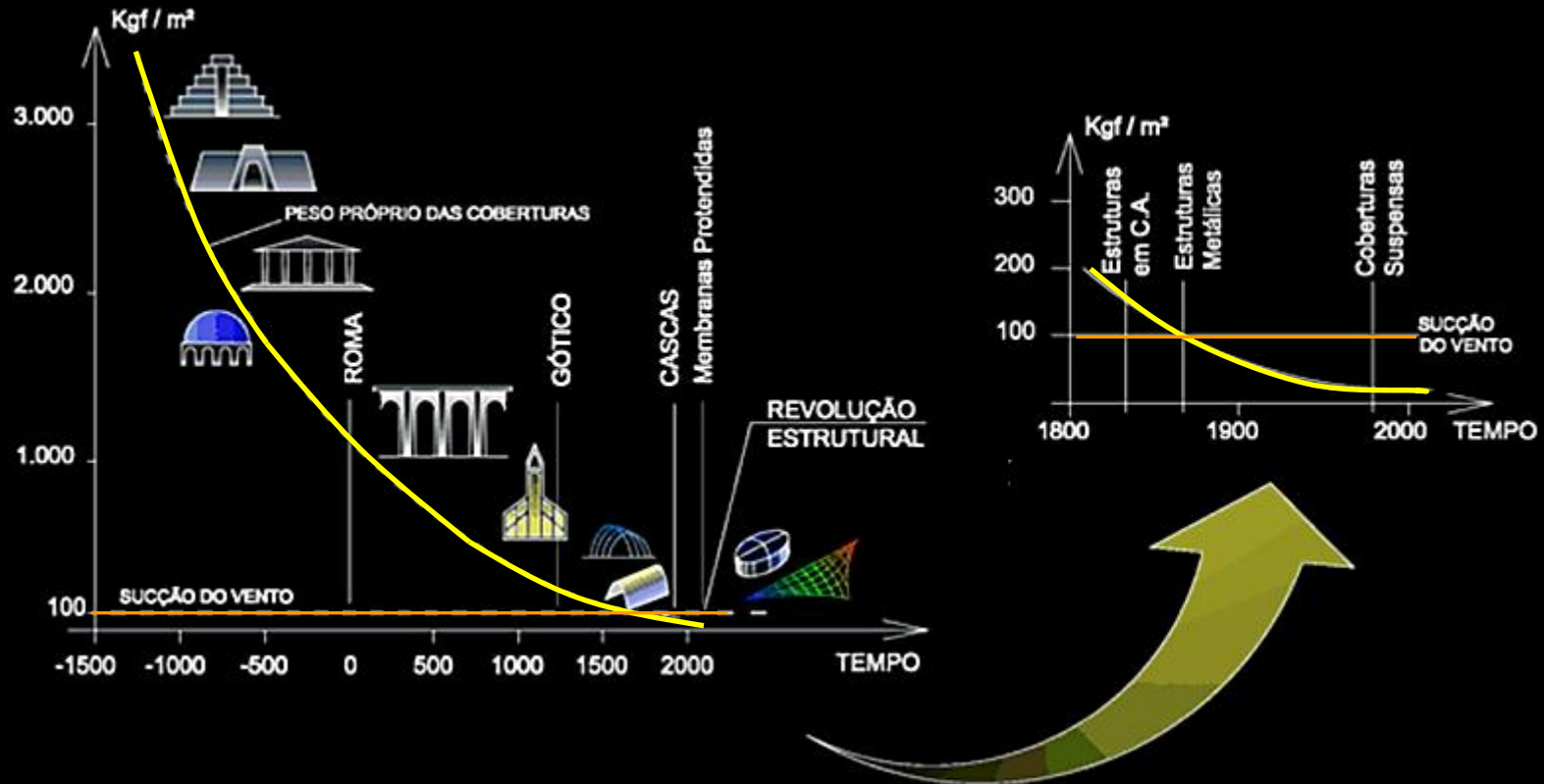
Estruturas Leves:



‘peso portante’ << ‘peso portado’

Desenho de Enzo Pinto, Nápoles, 1985.

Estruturas Leves:



Adapted from R. Serger, "Structures nouvelles in architecture", in Cahiers du centre d'estudes architecturales, n. 1, 1967, p. 42.

“Light structures, structures of light”

Horst Berger



“Light structures, structures of light”

Horst Berger









Suvarnabhumi Airport,
Bangkok, Thailand



Select Your Ultimate
and from
SPE



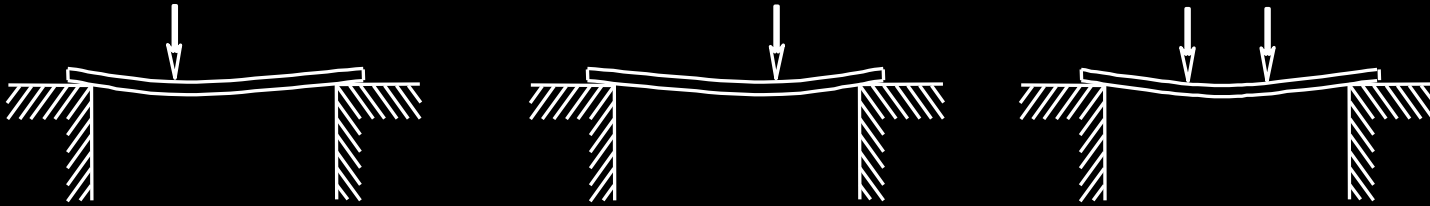
Photo by
Tim Nugent, 2009



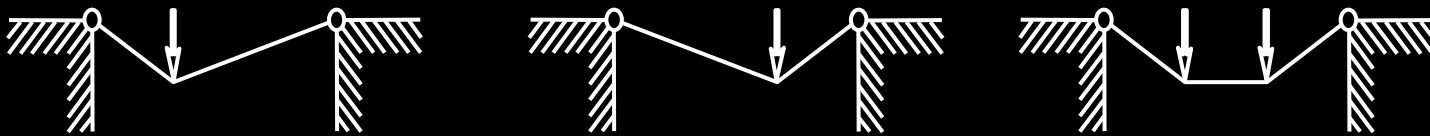
AL MULAA

► MOI

Estruturas Flexíveis:



(a) *Uma estrutura 'rígida', como uma viga, não muda drasticamente de forma, quando o carregamento varia*



(b) *Uma estrutura 'flexível', como um cabo, pode alterar drasticamente sua forma, quando o carregamento varia*

Estruturas flexíveis deve se conformar às formas funiculares:

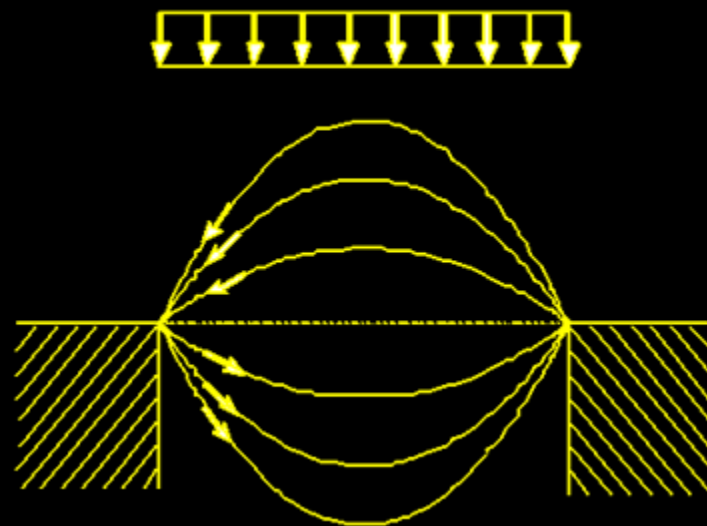
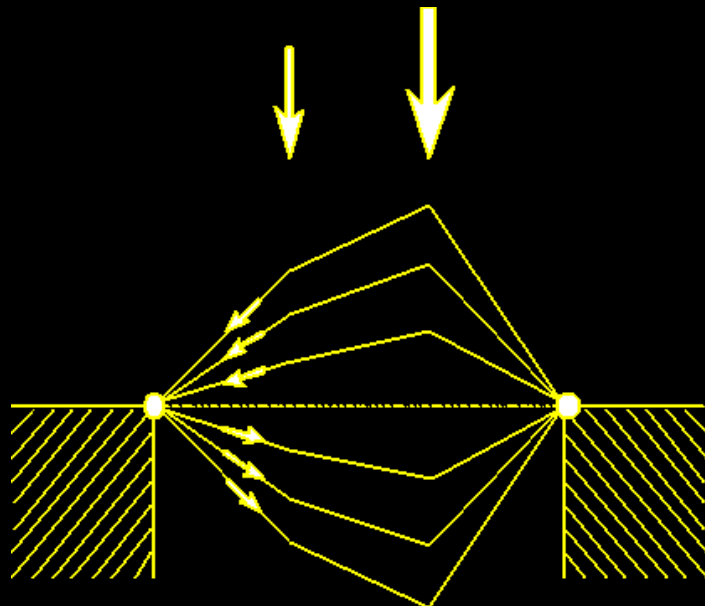
'aqueelas que equilibram um conjunto de carregamentos, sem desenvolver esforços de flexão'



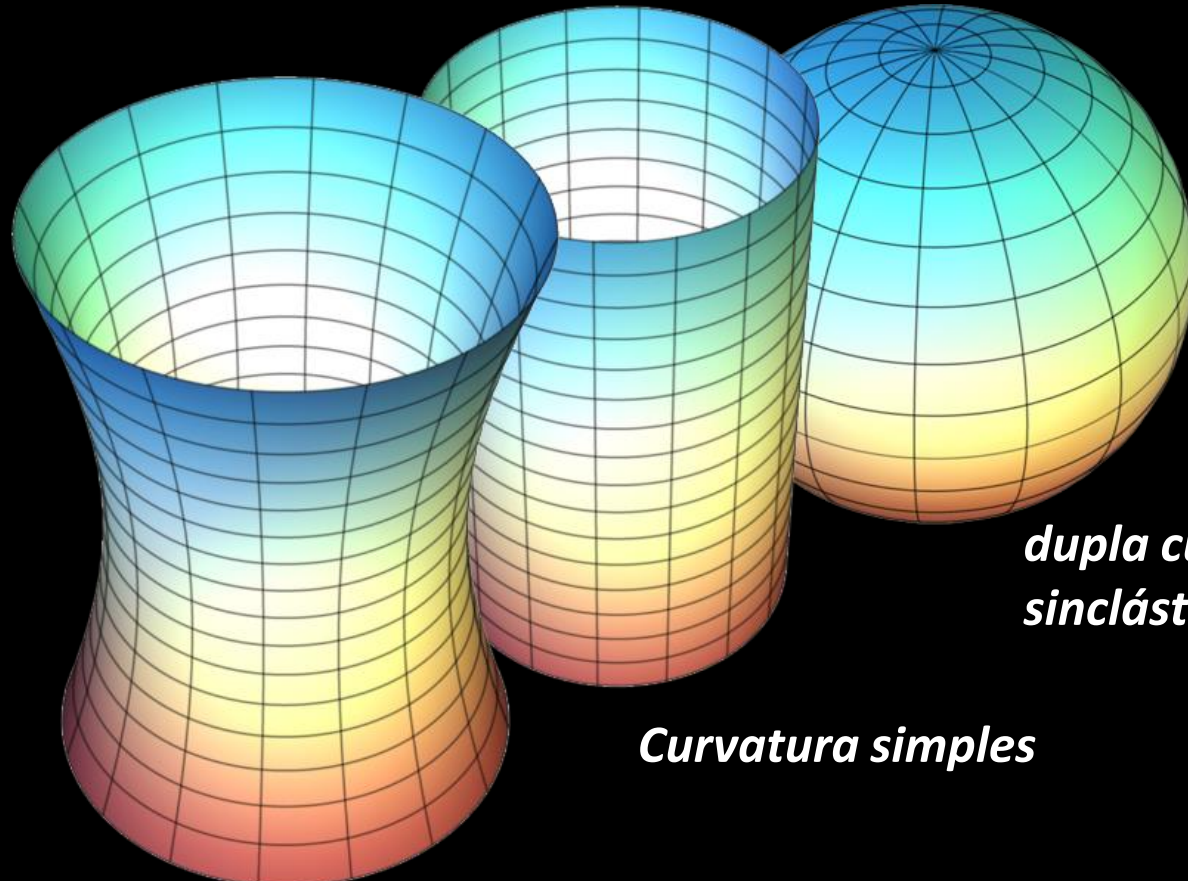




Cada ‘padrão de carregamento’ tem associada a si uma ‘família de formas funiculares’:



Membranas e redes de cabos usualmente constituem superfícies de curvatura simples ou dupla:

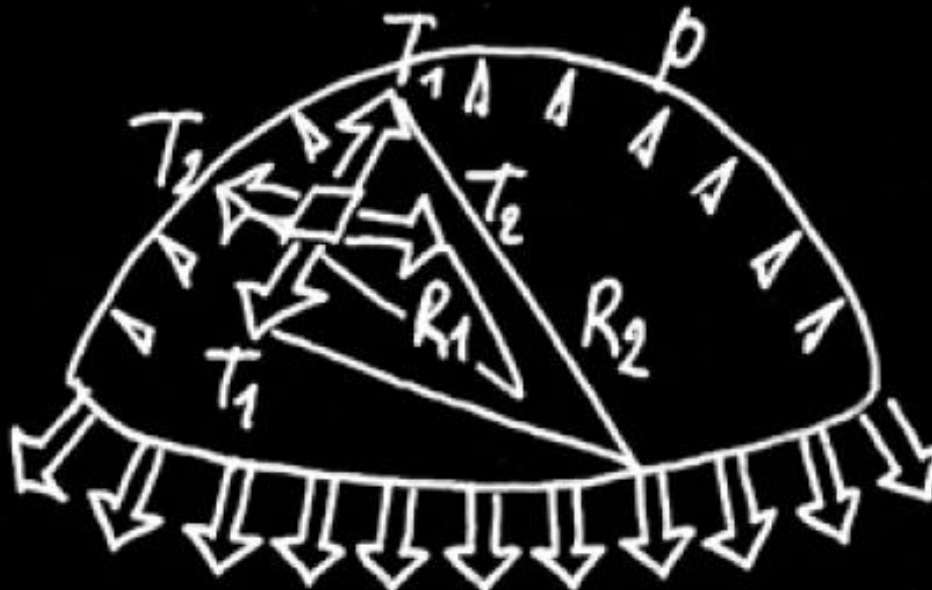


*dupla curvatura,
anticlástica*

Curvatura simples

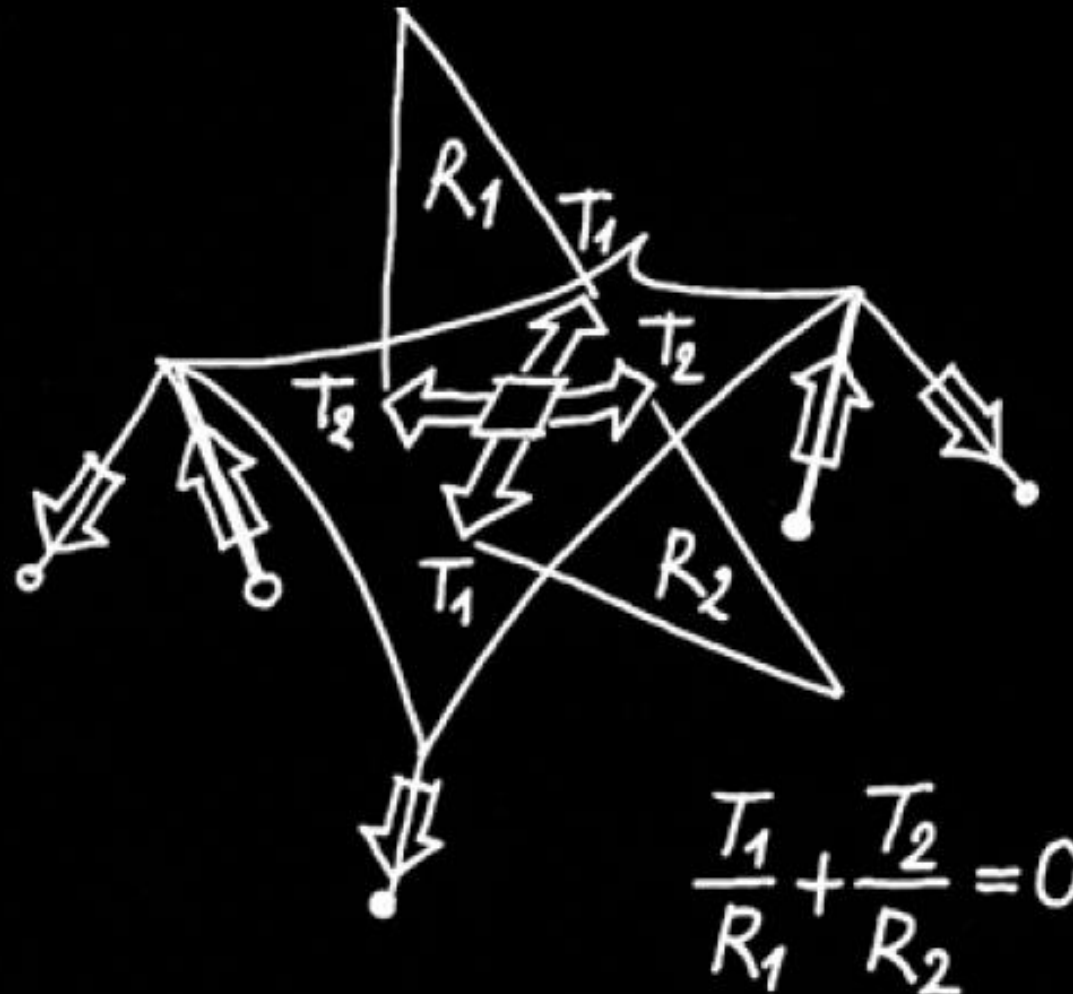
*dupla curvatura,
sinclástica*

Membranas pneumáticas em geral são sinclásticas:

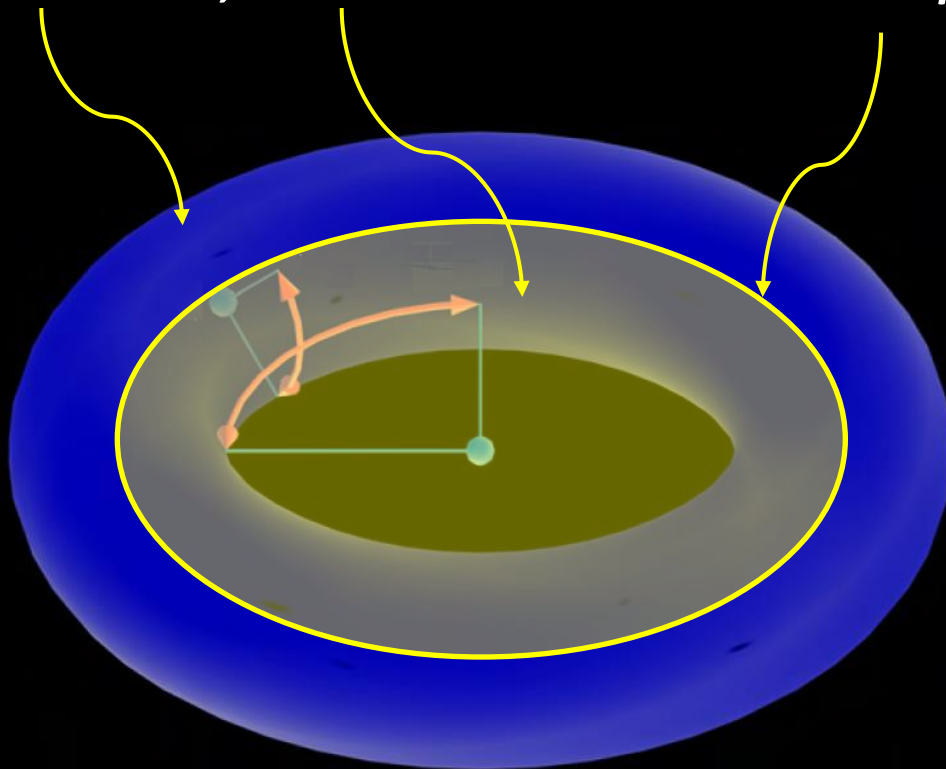


$$\frac{T_1}{R_1} + \frac{T_2}{R_2} = p$$

Porém tendas são sempre anticlásticas or planas!



Estruturas pneumáticas podem apresentar zonas sinclásticas, anticlásticas e de curvatura simples:



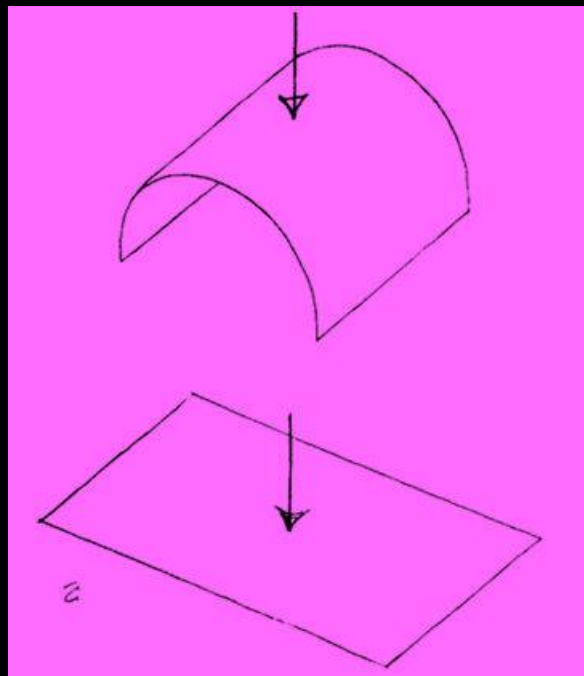


**SAVE
THE
CLIMATE**

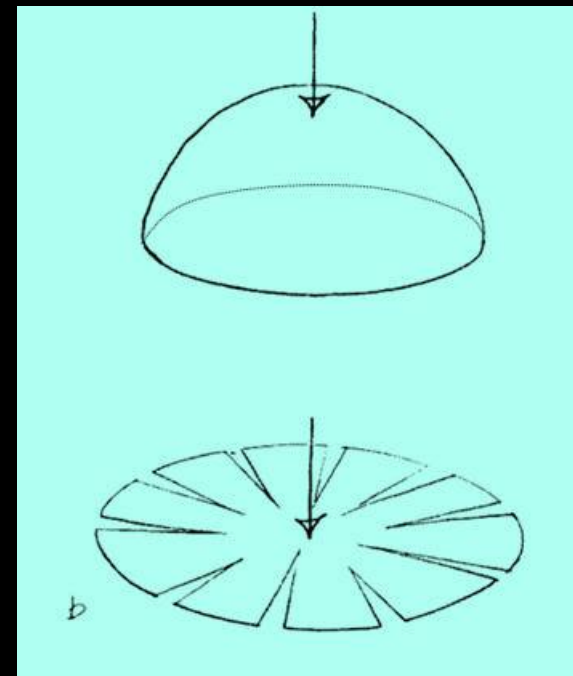
GREENPEACE



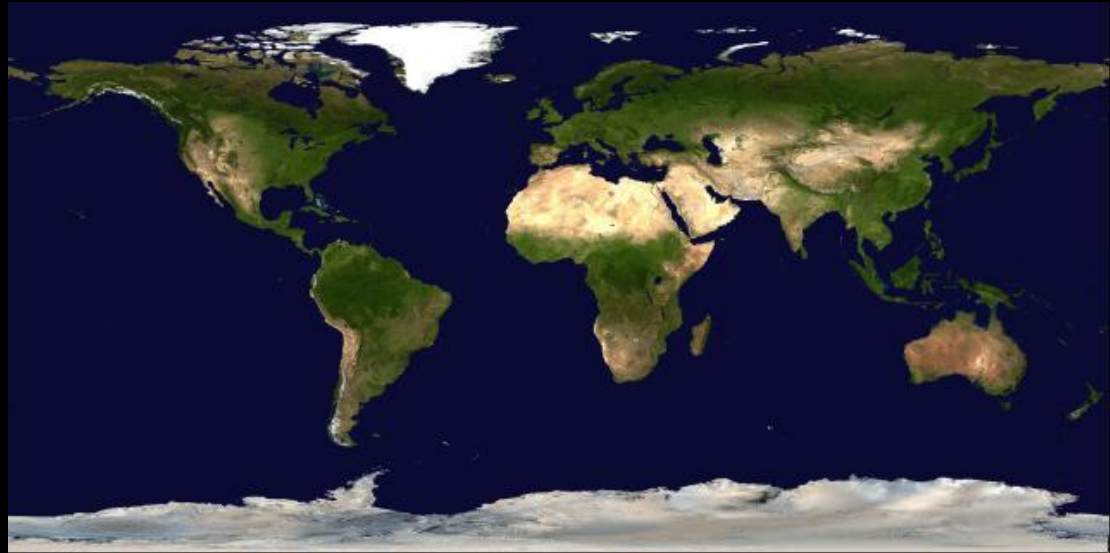
Planificação



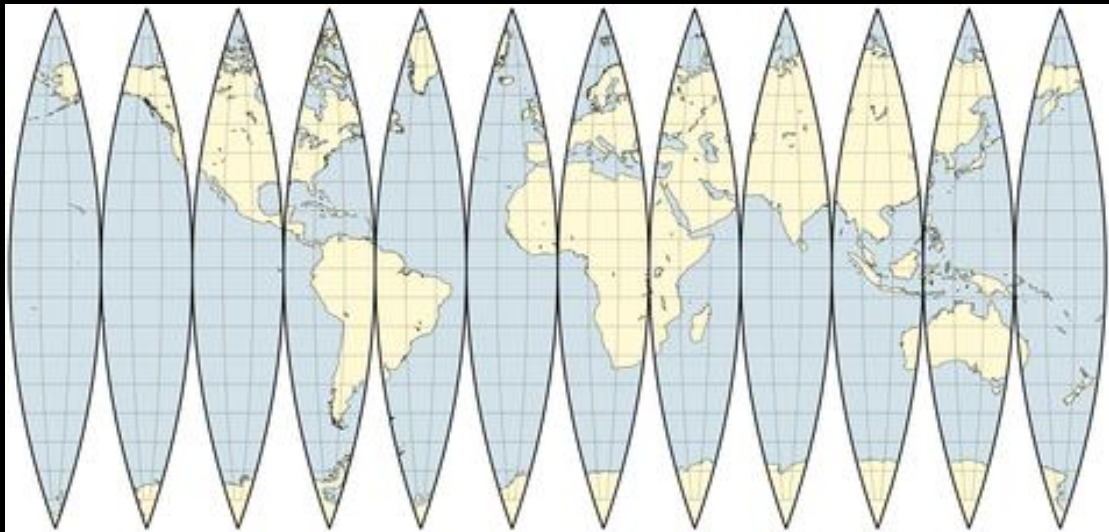
Superfícies de curvatura simples
podem ser planificadas sem distorção



Superfícies de dupla curvatura
sofrem distorção quando planificadas



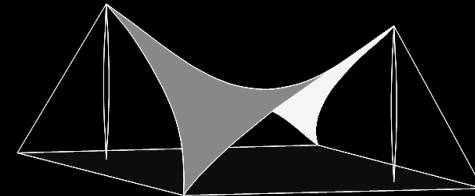
Mercator projection



A gore map using Apian's first projection.

O Processo de Projeto das Estruturas Retesadas

INTENÇÃO AEQUITETÔNICA:



PROJETO / ANÁLISE:

Forma inicial, não-viável

Busca de Forma

Forma final, viável

Determinação dos
padrões de corte

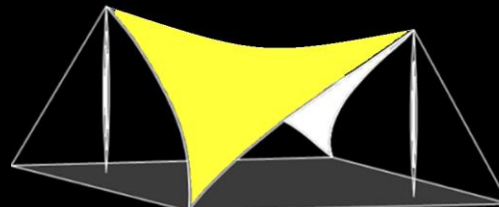
Resposta aos carregamentos

Padronagem:

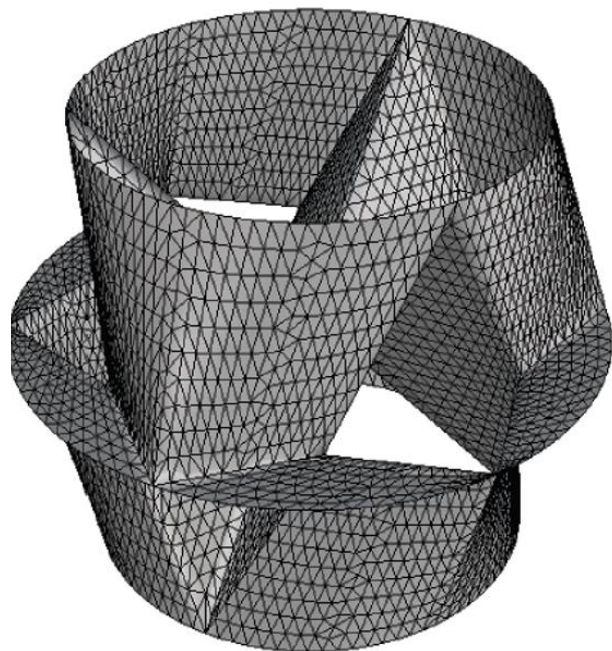


**Análise de
Carregamentos**

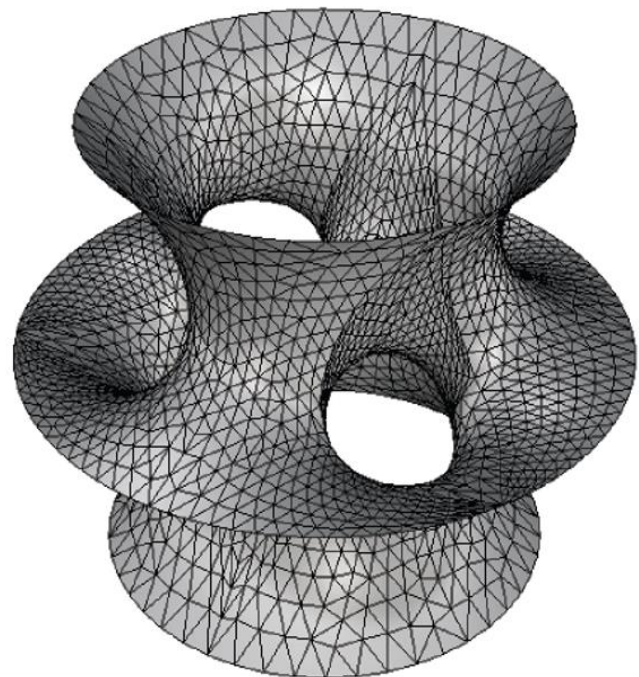
SOLUÇÃO DE PROJETO:



Uma escultura de membrana (Princeton, 2017)

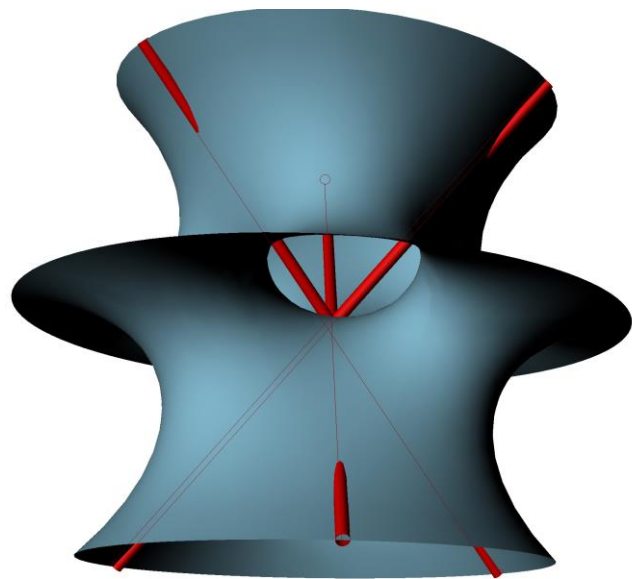


INITIAL MESH

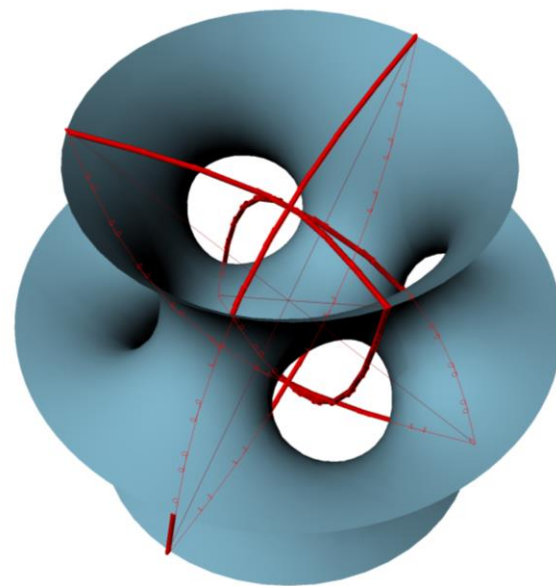


FINAL MESH

Sistema de retesamento de flexão ativa

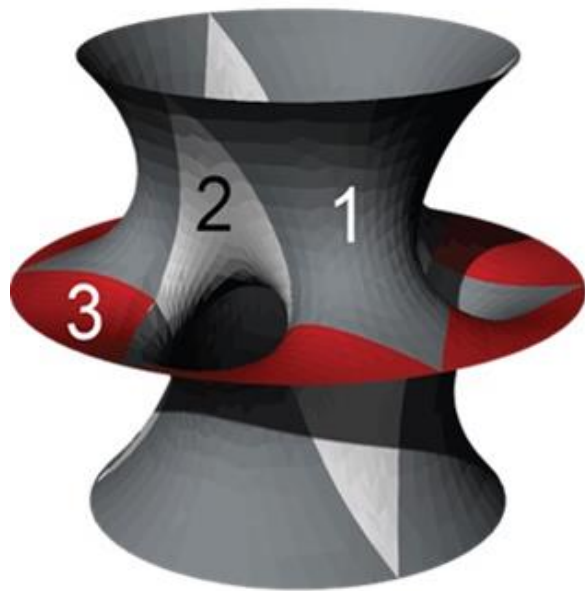


Barras retas interferem com a superfície da membrana

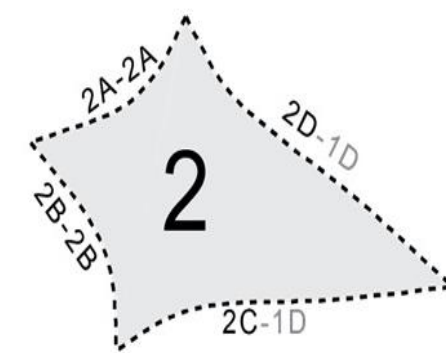
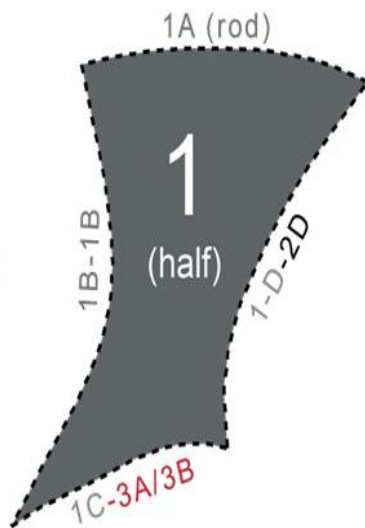


Barras fletidas podem ser acomodadas e provêm um Sistema de ativação (retesamento) muito conveniente

PADRONEGEM

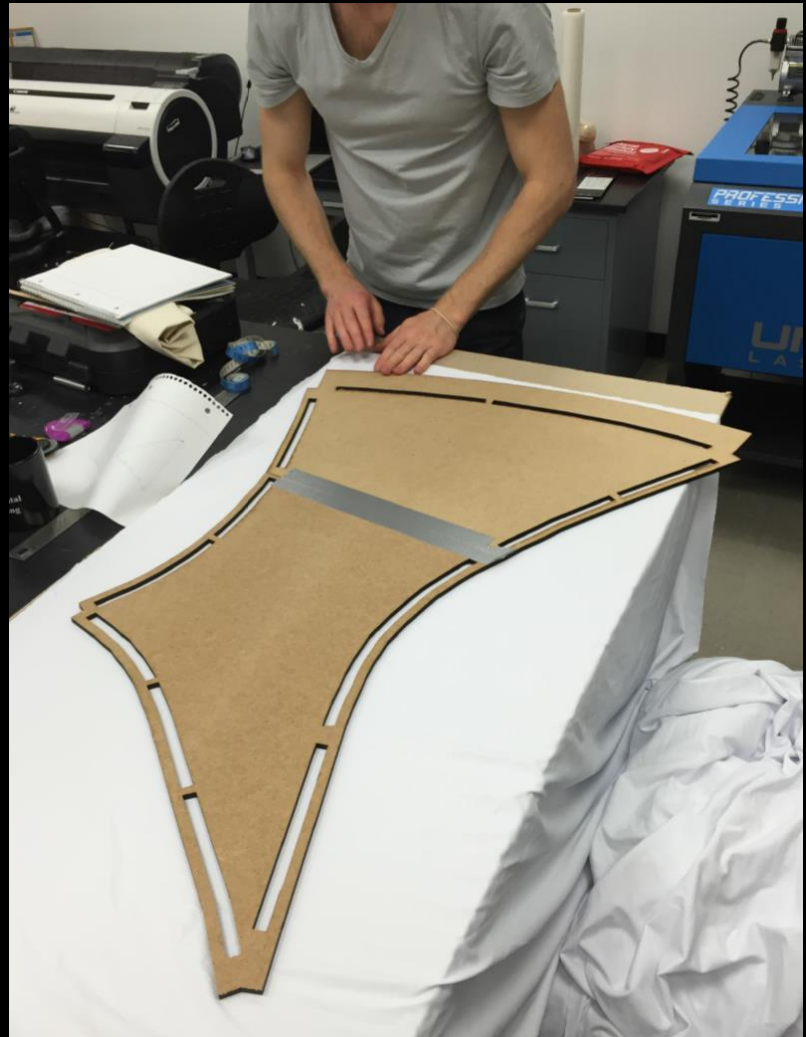


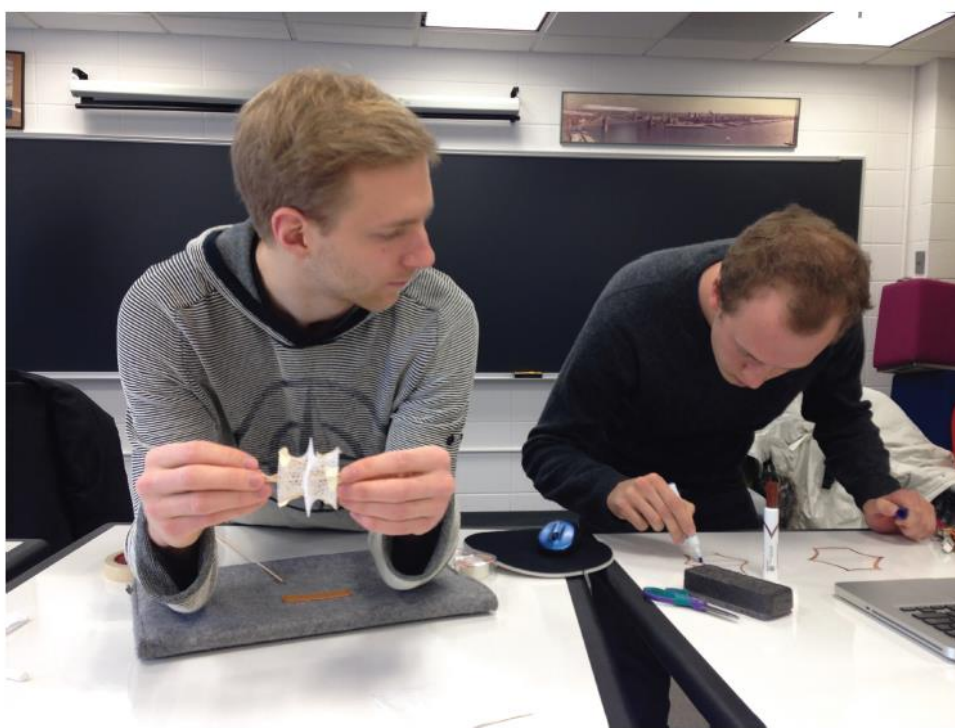
PERSPECTIVE VIEW

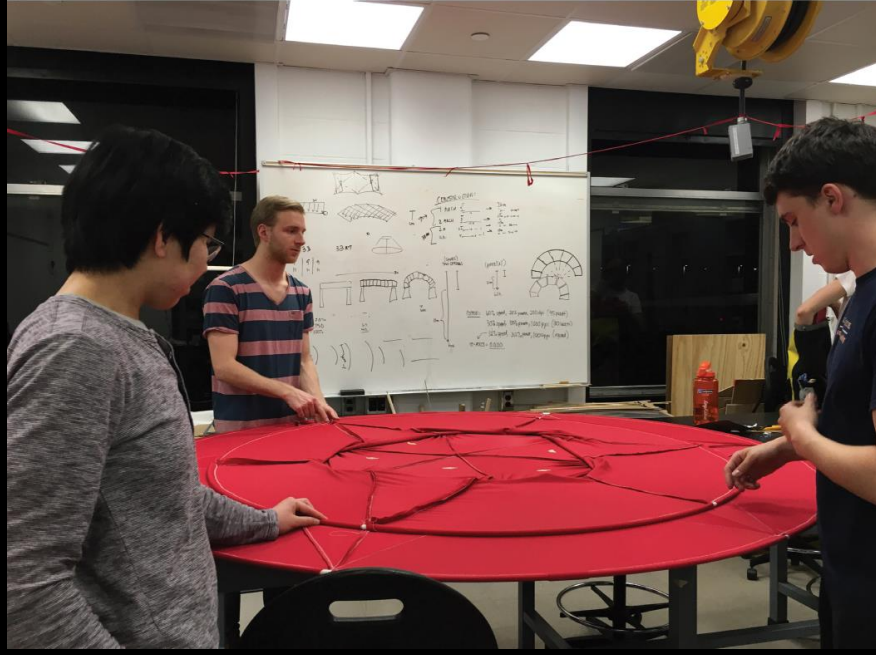
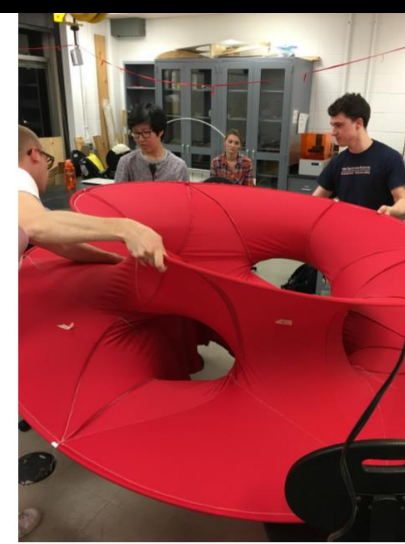
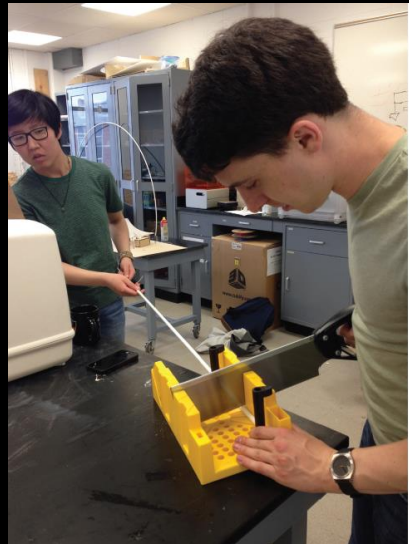


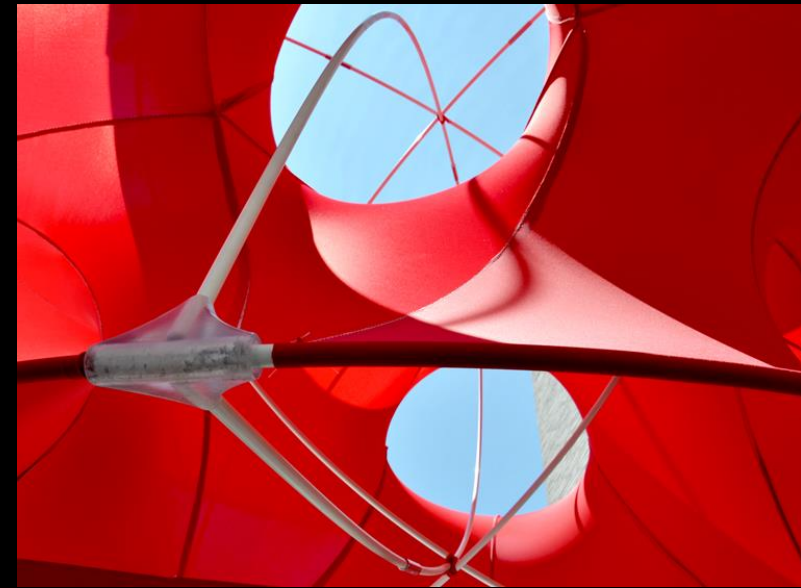
FLATTENED PATTERNS

PRODUÇÃO





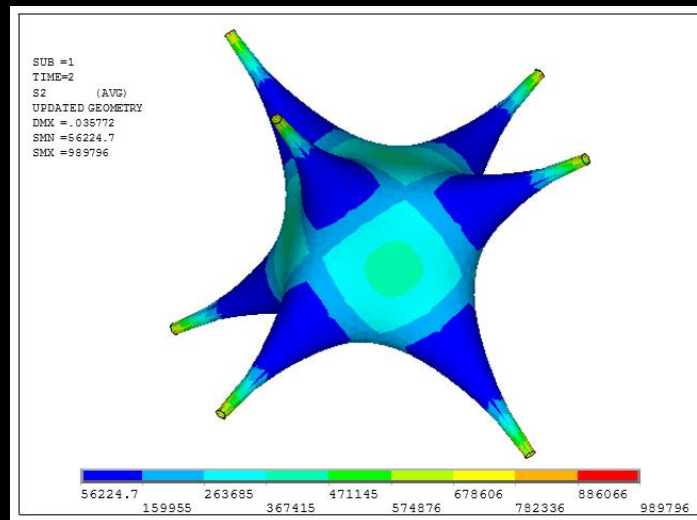
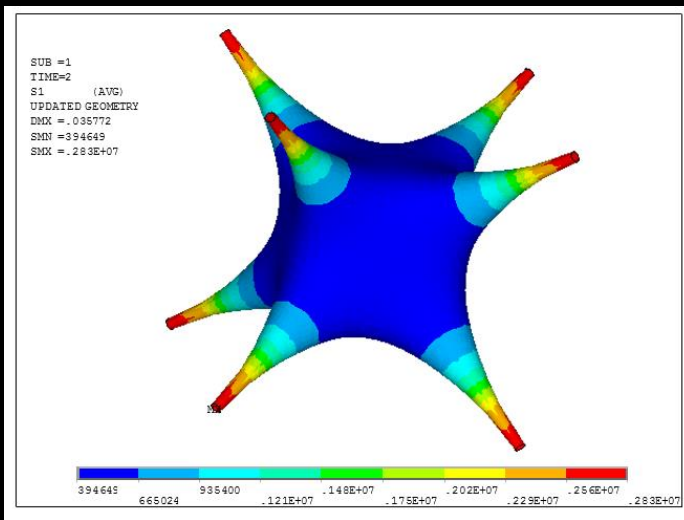
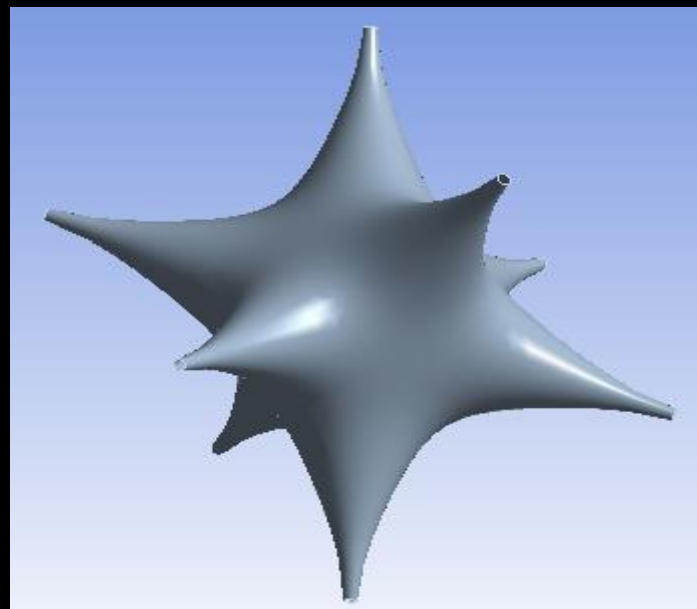
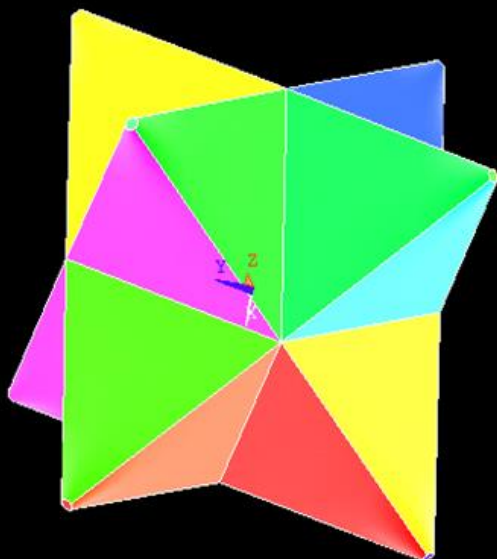




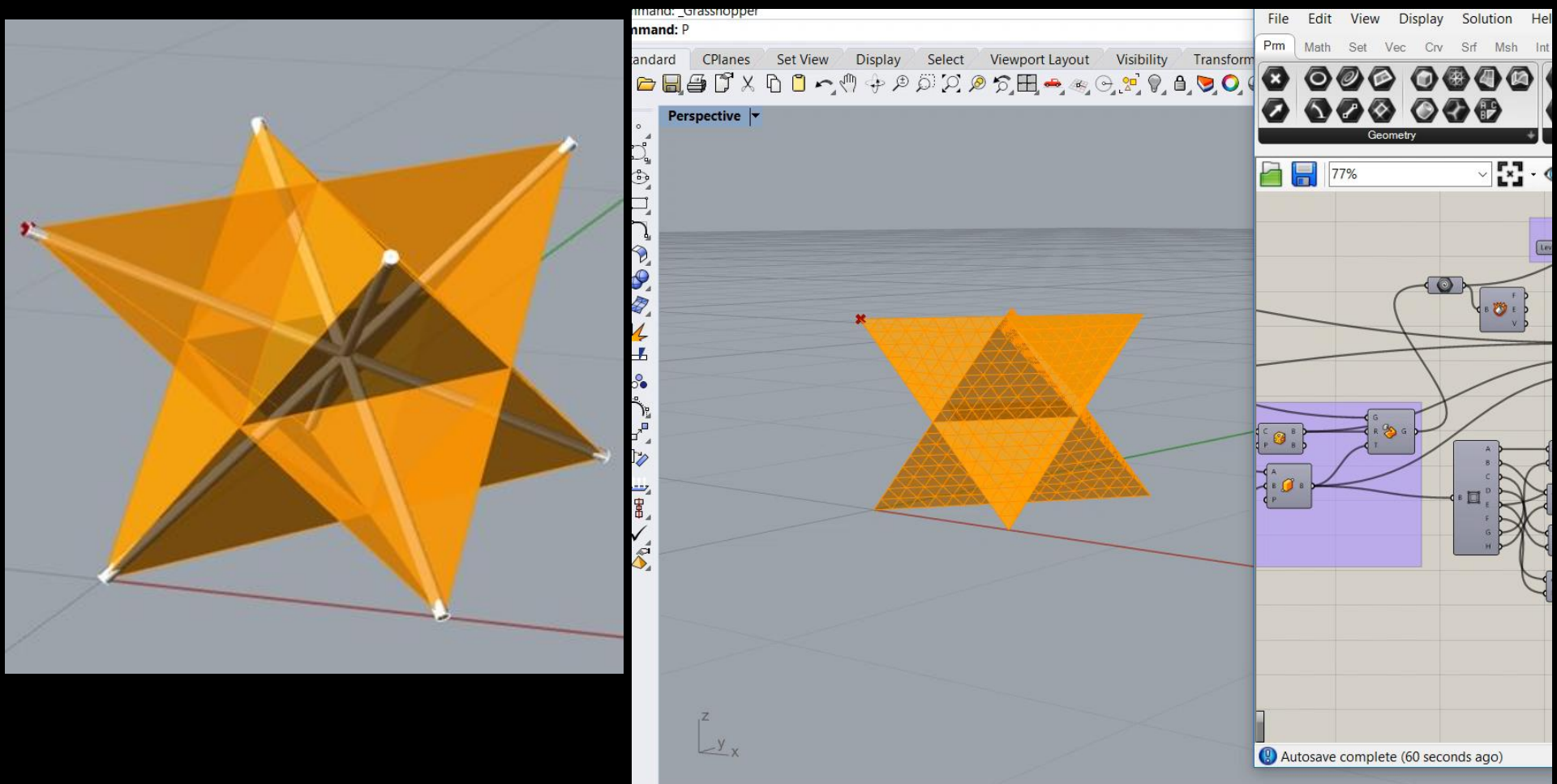
A escultura exibida no hall of Universidade de Hamburgo (2017)

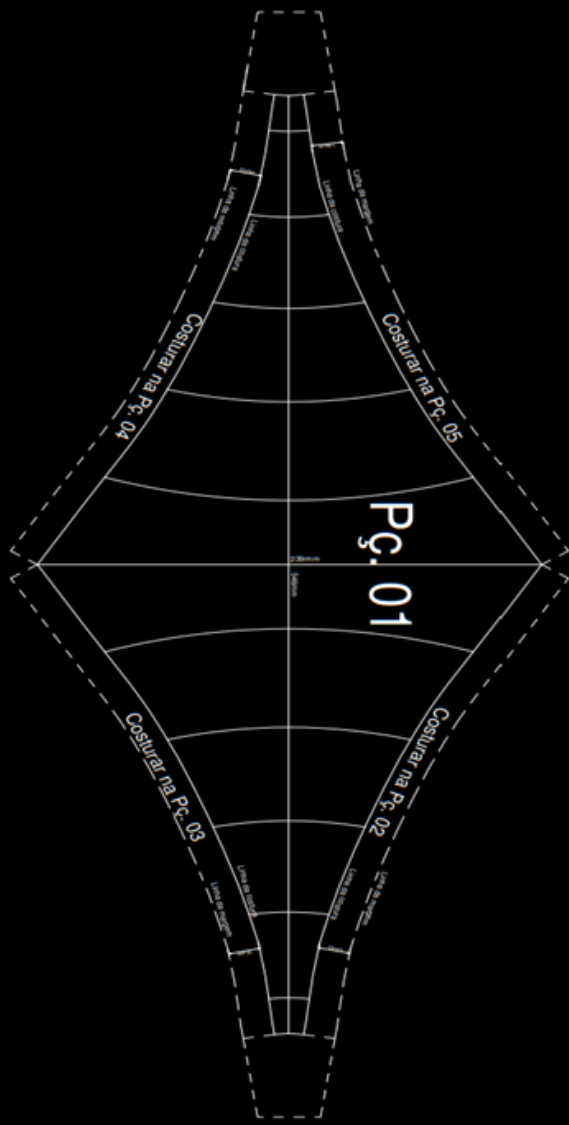


The Octahedral cusped (São Paulo, 2017)



The Octahedral cusped (São Paulo, 2017)



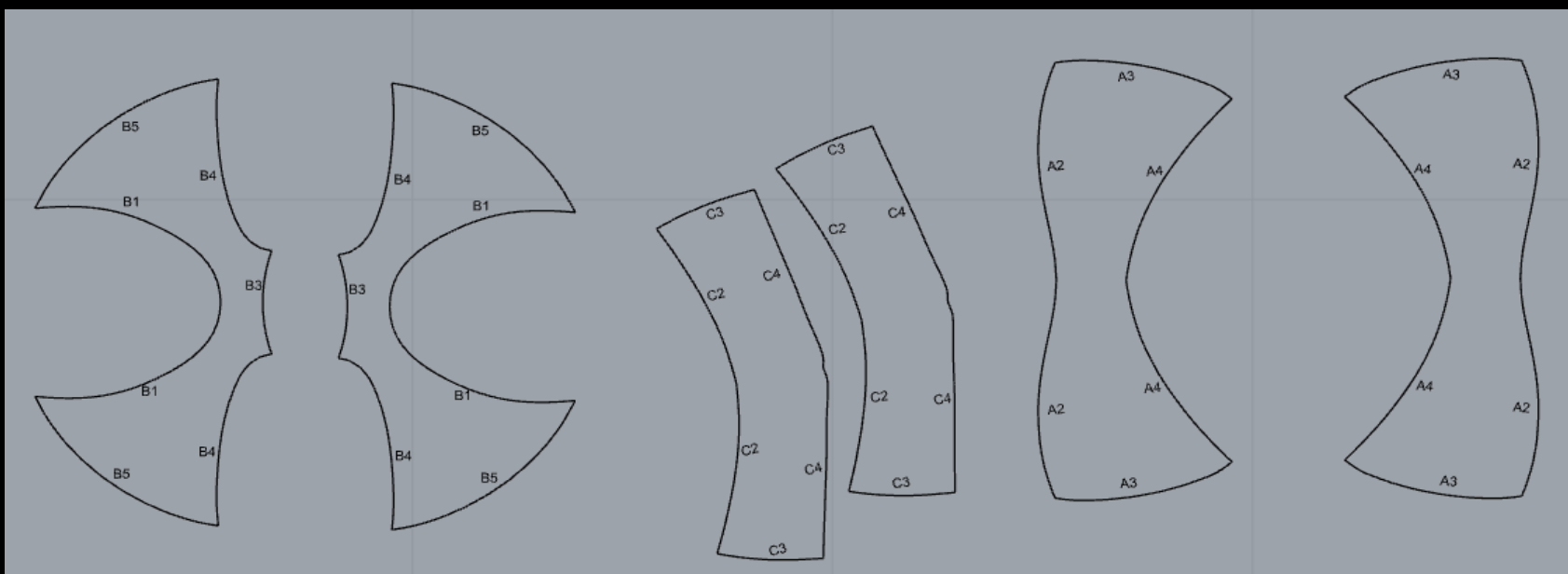
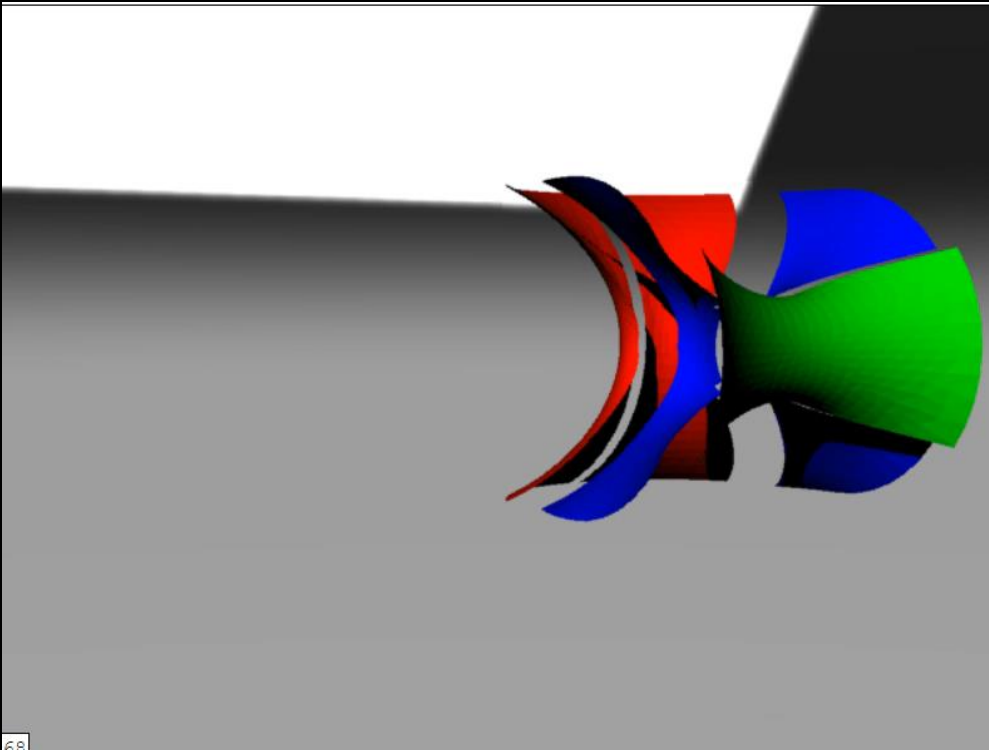






An Enneper surface with a Handle (Padua, 2018)











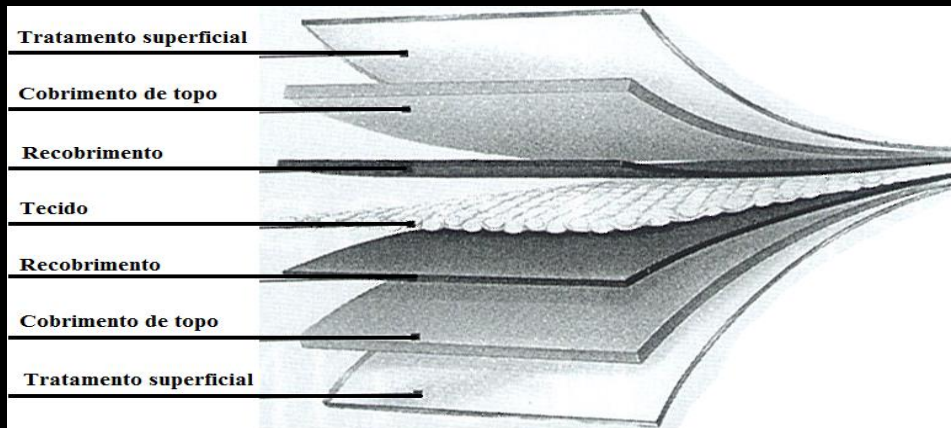
Tecidos técnicos



Produção de um tecido de fibra de vidro (Pudenz, 2004)



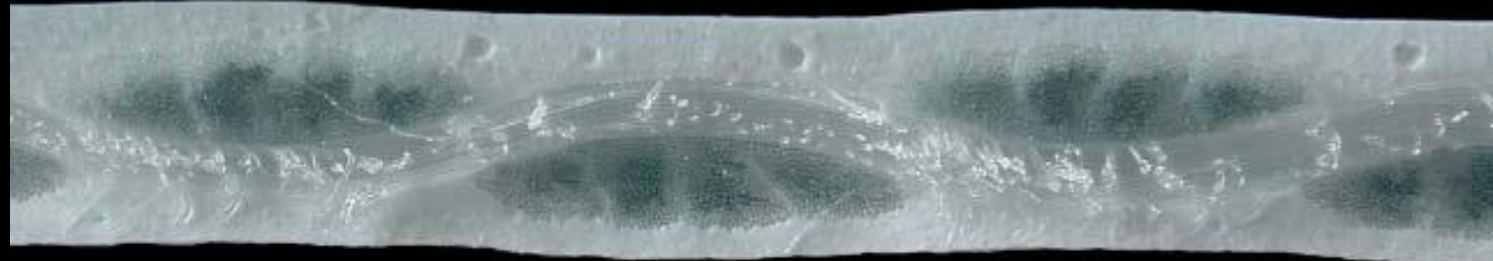
Recobrimento com PTFE (Pudenz, 2004)



Diferentes camadas de um tecido técnico Blum *et al* (2004)



Fibra de vidro recoberta com PTFE



Fibra de poliéster recoberta com PVC

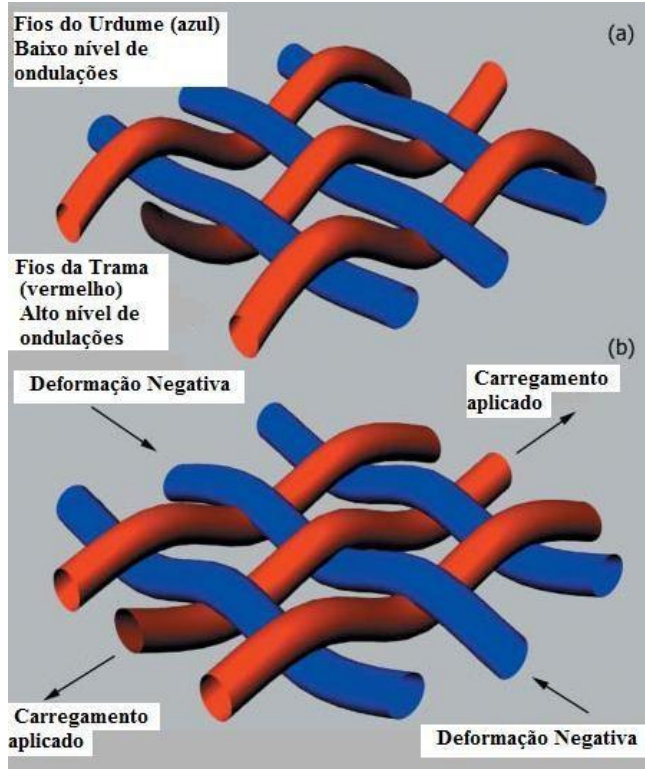
Seções transversais de tecidos de fibra de vidro e
poliéster (BRIDGENS et al, 2004).

PTFE-covered fiberglass fabric (1969)

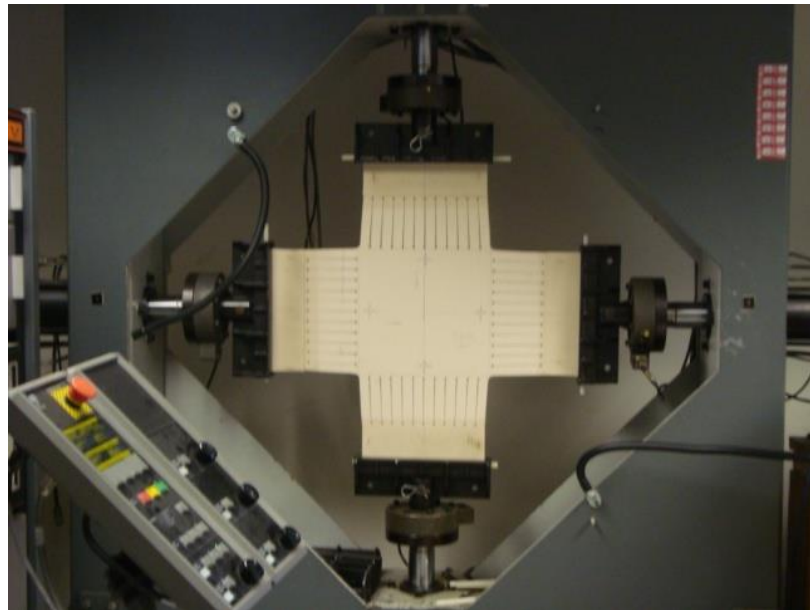
DuPont, Birdair, Chemfab & Owens-Corning



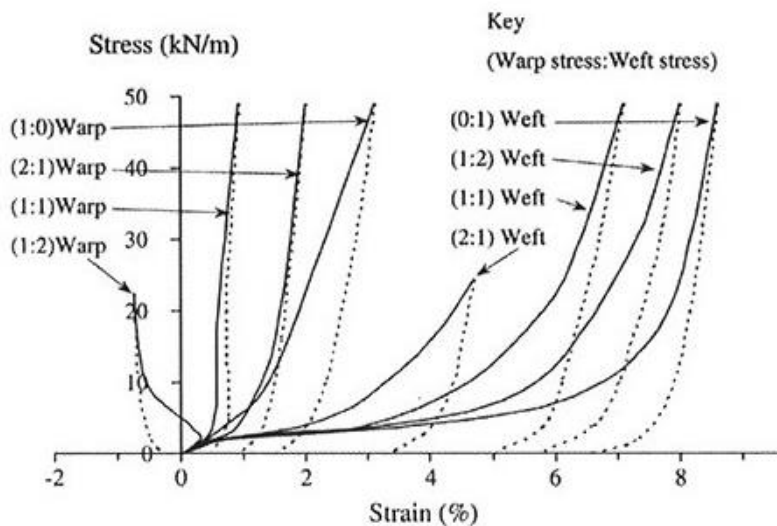
**Neil Armstrong's Suit
Apollo 11 Project (1969)**



Crimp Interchange,
Bridgens et al. (2004).



Biaxial test (Chivante, 2009)



σ - ϵ curves for a PTFE-fiberglass fabric
(warp = urdume; weft = trama), Kato et al (1999)

Comparison between different types of structural fabrics

	PVC coated polyester fabrics	PTFE coated glass fabrics	Silicone coated glass fabrics	PTFE coated PTFE fabrics
Tensile strength warp/weft (kN/m)	115/102	124/100	107/105	84/80
Fabric weight (g/m ²)	1200 (type 3)	1200 (type G5)	1100	830
Trapezoidal tear warp/weft (N)	800/950	400/400	960/700	925/925
Visible light transmission (%)	10-15	10-20	< 80	19-38
Flexibility/crease recovery	high	low	high	high
Fire reaction	M2 (NFP 92 503) B1 (DIN 4102)	M1 (NFP 92 503) B1/A2 (DIN 4102)	A (ASTM E-108) no toxicity of smokes	
Cleaning	easier with top coats	self cleaning	self cleaning	self cleaning
How to make the seams	by high frequency	thermally	vulcanisation	stitching
Life span (years)	> 15-20	> 25	> 25	
Cost	low	high	high	

Comparação de usos e custos de diferentes tipos de tecido (incluindo elementos complementares)

Fabric type	Typical use	Cost comparison*
PTFE-coated fiberglass	Large scale permanent structures Class A ASTM E-108	\$75 – 100 per ft. ²
Silicone-coated fiberglass	Large scale permanent structures Class A ASTM E-108	\$75 – 100 per ft. ²
Vinyl-coated polyester	Temporary and permanent structures	\$50 – 75 per ft. ²
Woven PTFE	(More pliable than standard PTFE) Retractable roofs, structures	\$85 – 125 per ft. ²
ETFE	High transparency (97%) Atria, indoor parks, biospheres, skylight applications	\$100 – 125 per ft. ²
HDPE (High Density Polyethylene)	Shade structures/systems	\$25 – 50 per ft. ²
Laminates	Tents, awnings & canopies	\$35 – 50 per ft. ²

*2008 dollars. Surface area X cost per ft² = Budget Plan area (length X width) X Shape factor (H) = Surface area

Fabric Architecture 2009 Sourcebook



Tecidos de poliéster recobertos com PVC

Type	1	2	3	4	5
Surface weight (g/m²)					
French design guide	720	1 000	1 200	1 400	2 000
WG Messe Frankfurt	800	900	1 050	1 300	1 450
Yarn linear density (dtex)					
French design guide					
WG Messe Frankfurt	1 100	1 100	1 670	1 670	2 200
Tensile strength warp/weft (kN/m)					
French design guide	60/60	84/80	110/104	120/130	160/170
WG Messe Frankfurt	60/60	88/79	115/102	149/128	196/166
Trapezoidal test warp/weft (N)					
French design guide					
WG Messe Frankfurt	310/350	520/580	800/950	1 100/1 400	1 600/1 800
Yarn number per cm warp/weft					
French design guide					
WG Messe Frankfurt	9/9	12/12	10.5/10.5	14/14	14/14



Tecidos Poliéster / PVC Resistência ao fogo – Incêndio Shopping Nova América, RJ - 2015



Tecidos Poliéster / PVC Resistência ao fogo – Incêndio Shopping Nova América, RJ - 2015

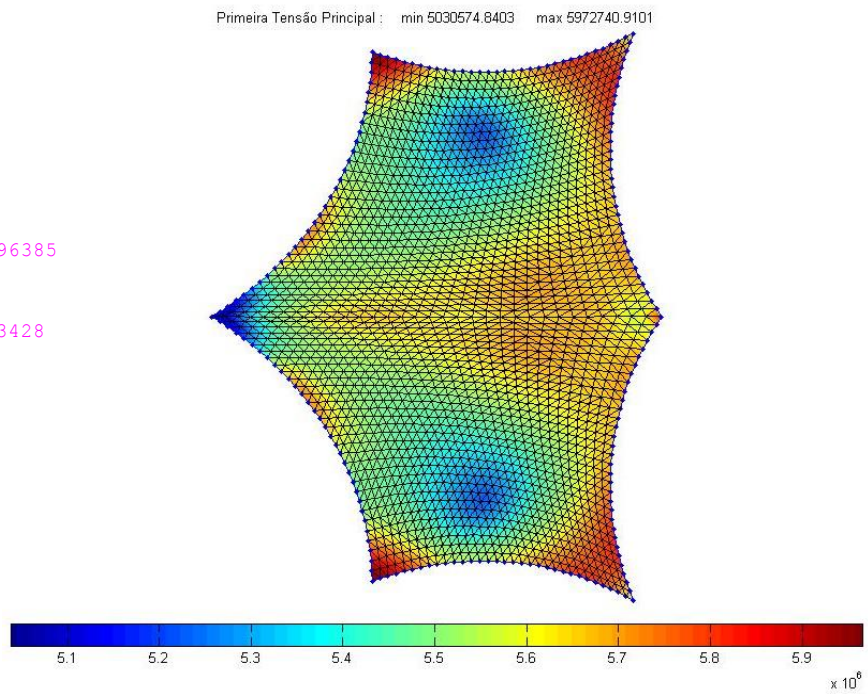
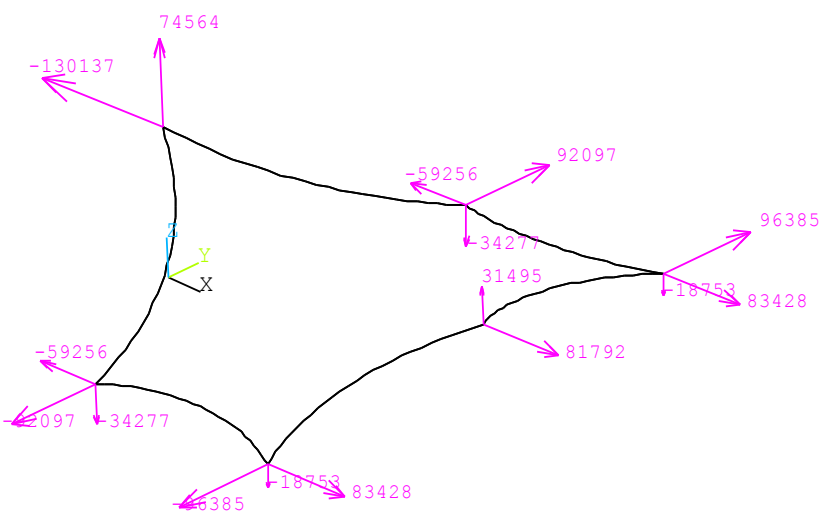
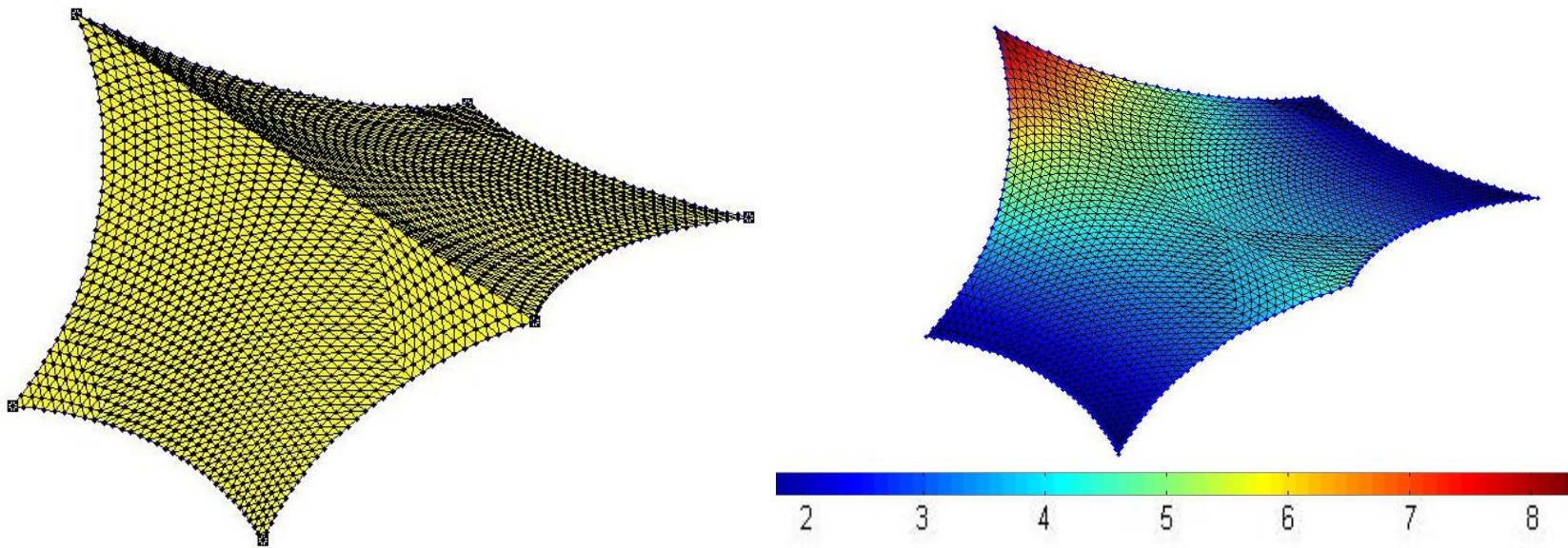


Tecidos Poliéster / PVC Resistência ao fogo – Incêndio Shopping Nova América, RJ - 2015

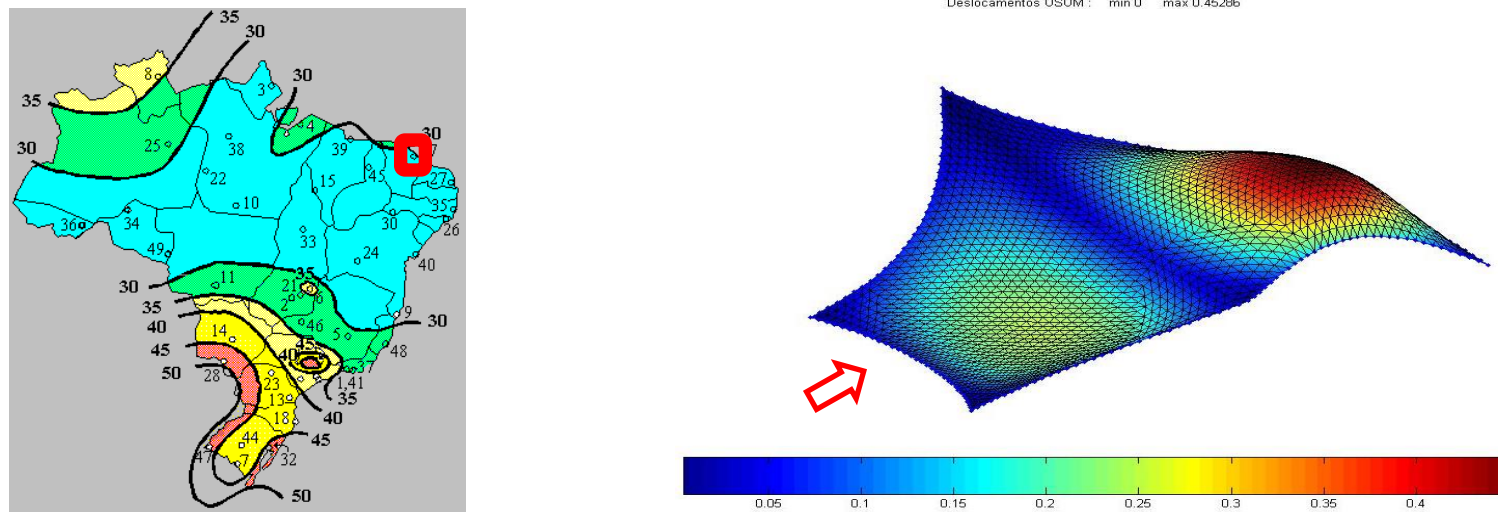


Membrana de cobertura do Memorial dos Povos de Belém do Pará (2006)

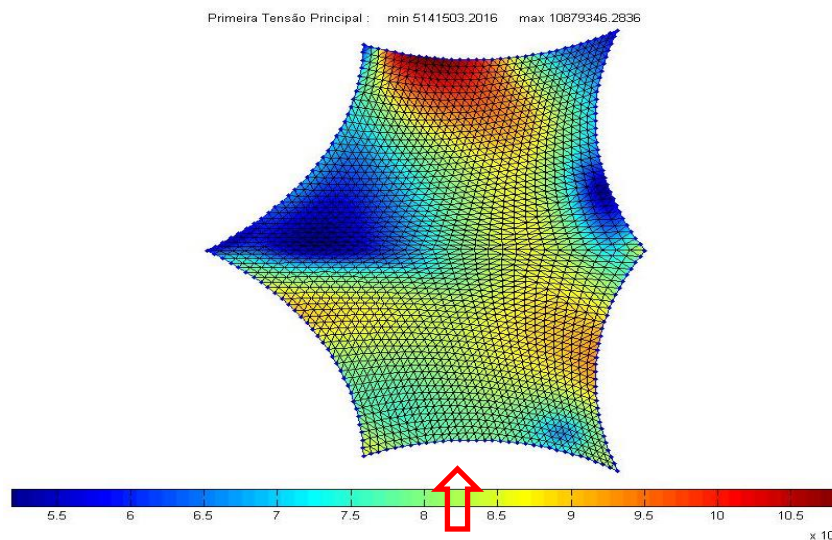




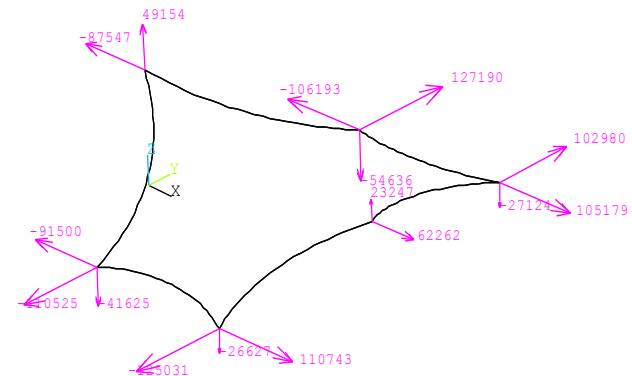
Resposta às cargas de ventos



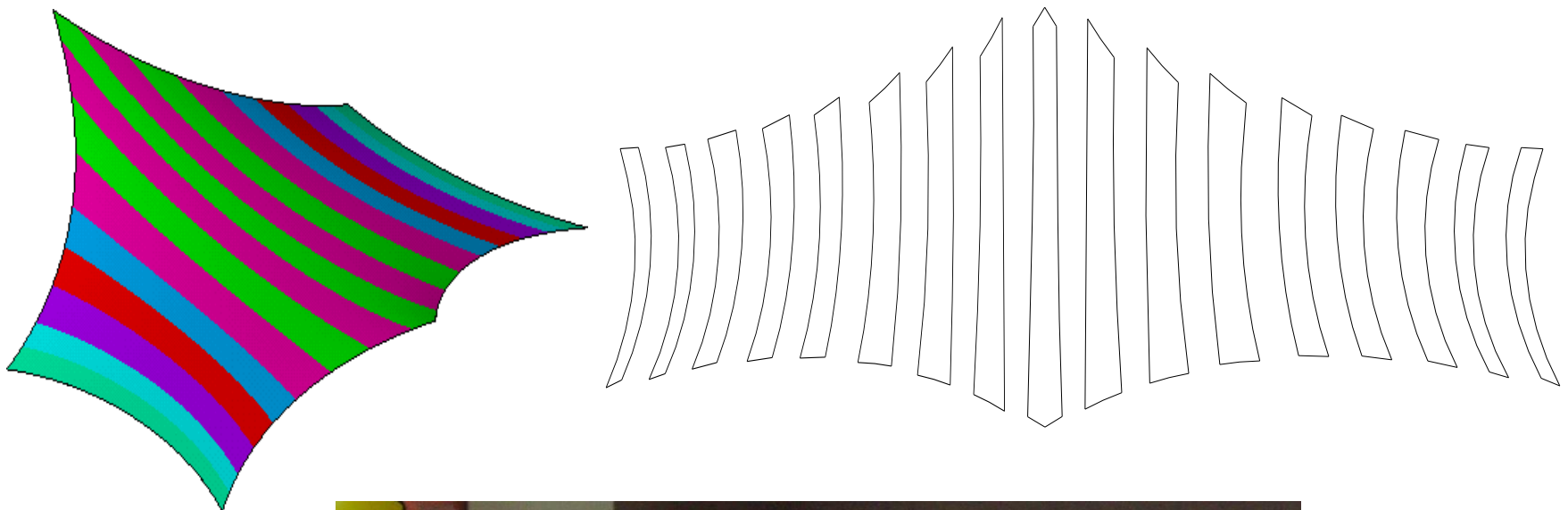
*displacement norms,
for the Y-wind load case*



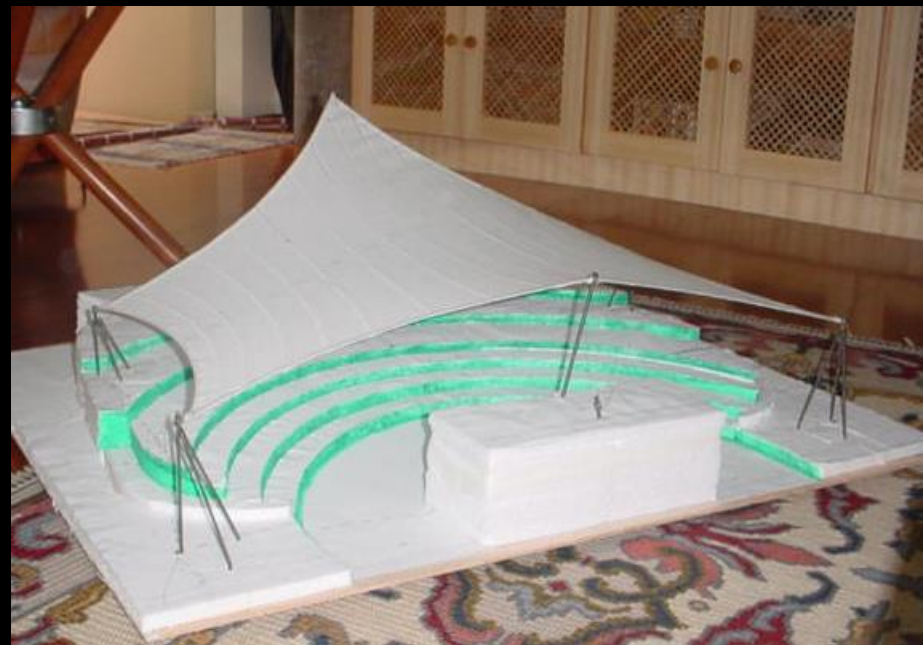
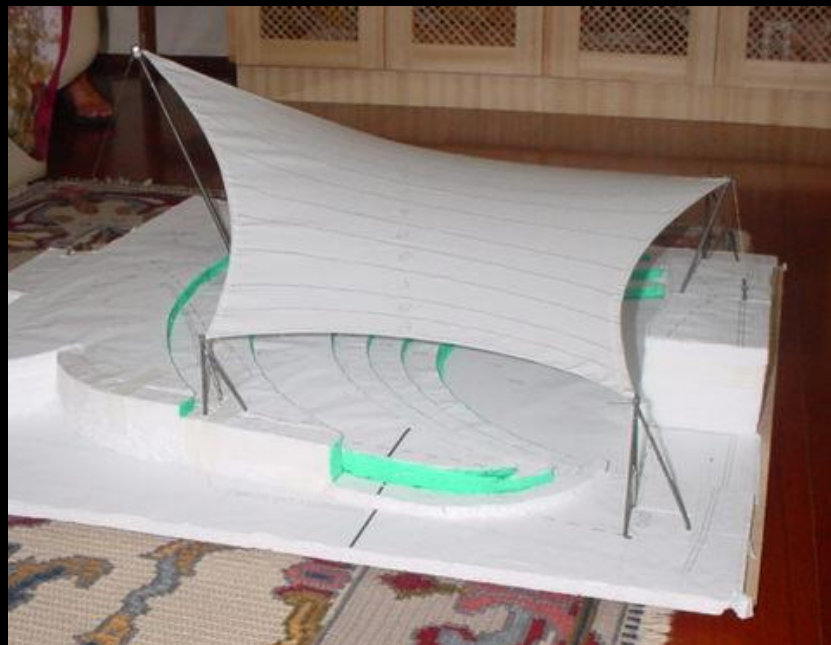
*Maximum 1st principal stresses
(S1) for the Y-wind load case*



Padrões de corte



Maquete em tecido escala 1:50



Modelo em tecido escala 1:10







Membrana de cobertura do Memorial dos Povos de Belém do Pará (2006)



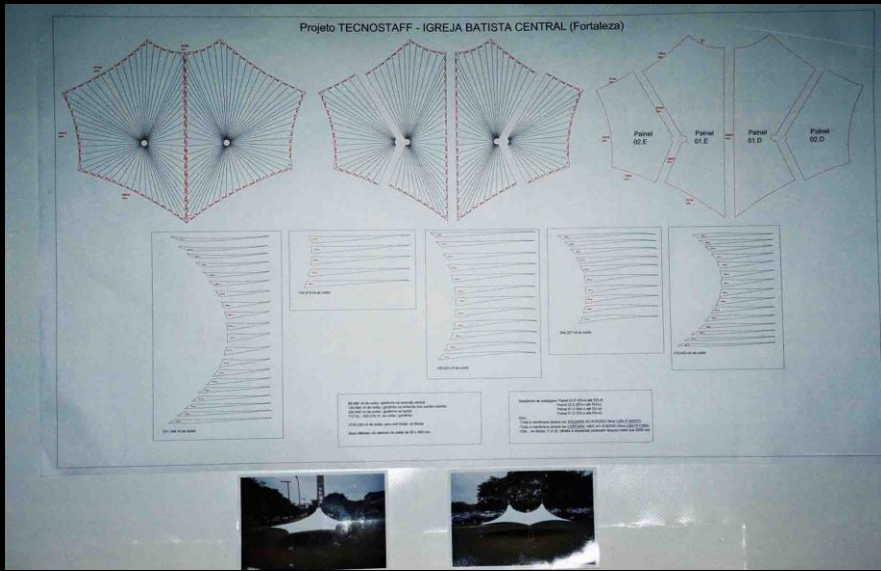
*Igreja Batista de Fortaleza
durante a inauguração, 27 de Novembro, 2003*







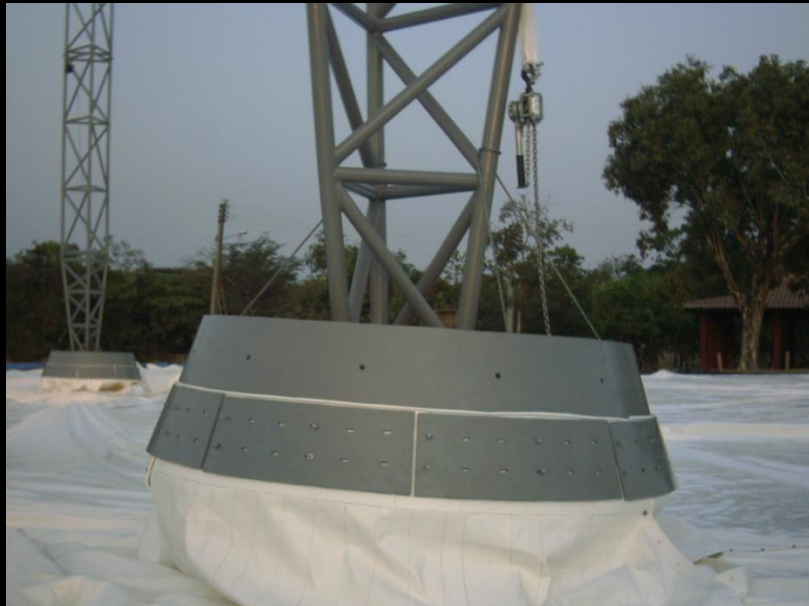












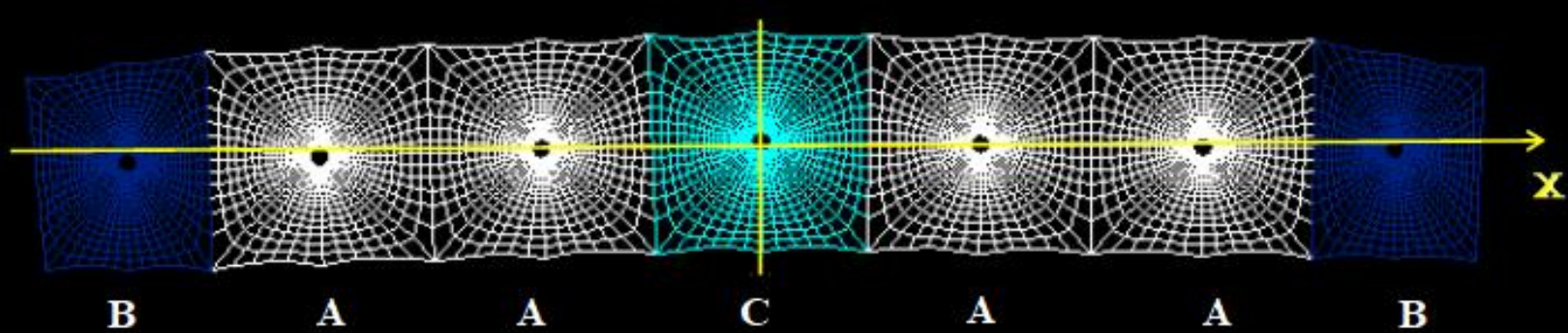
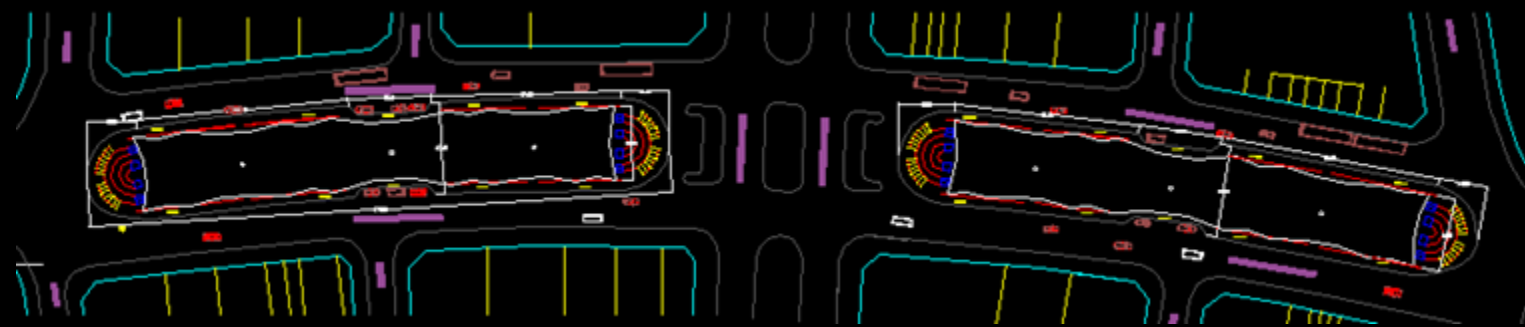


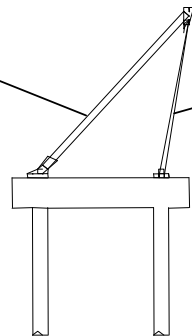
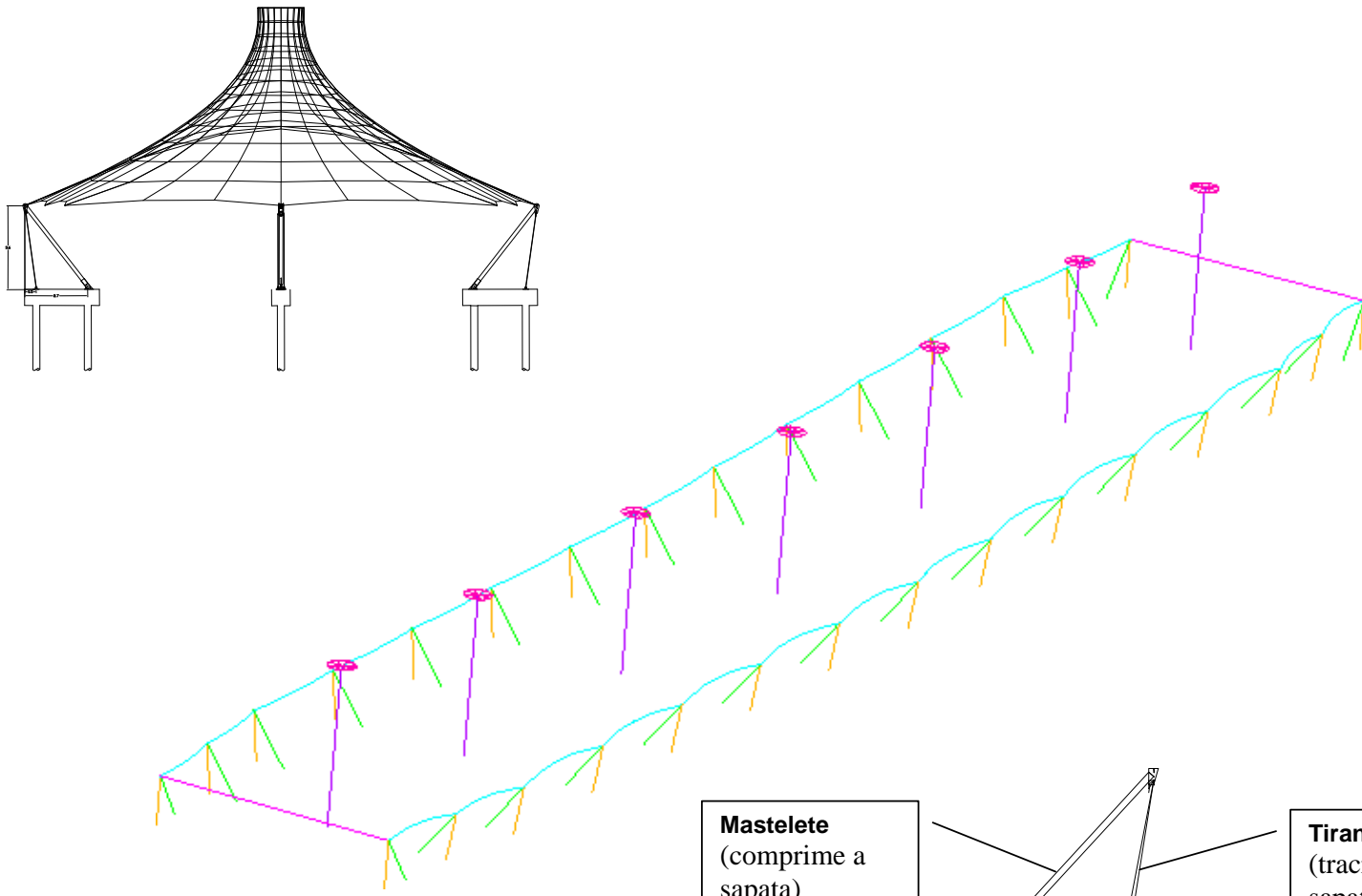


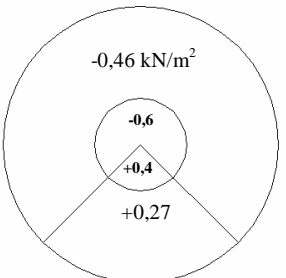
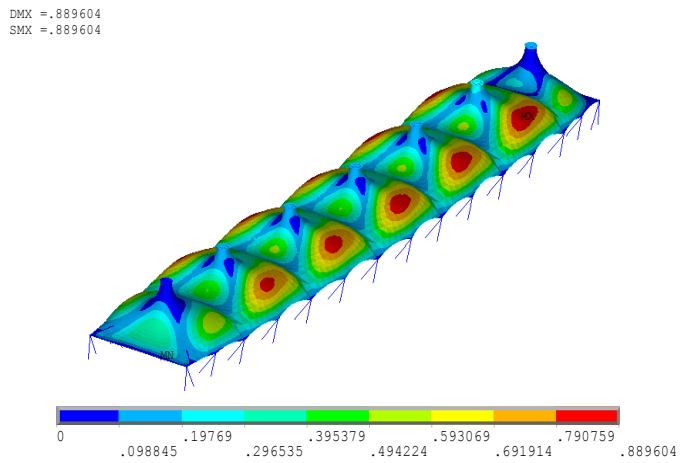
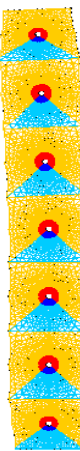
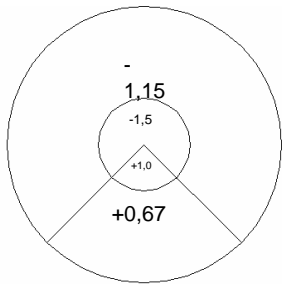
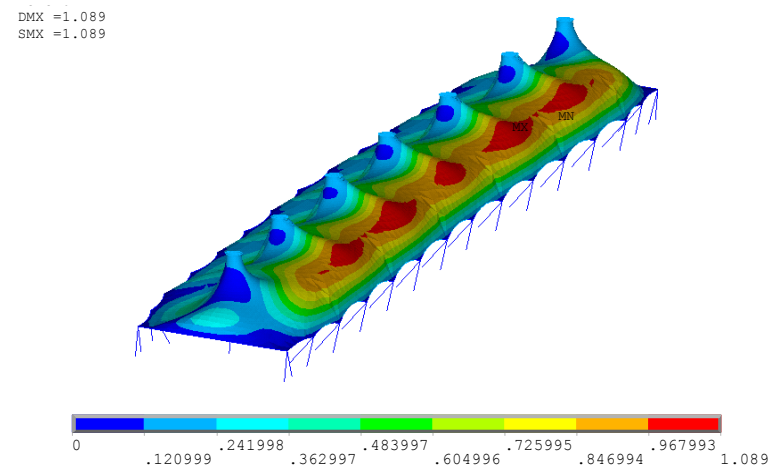
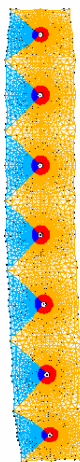
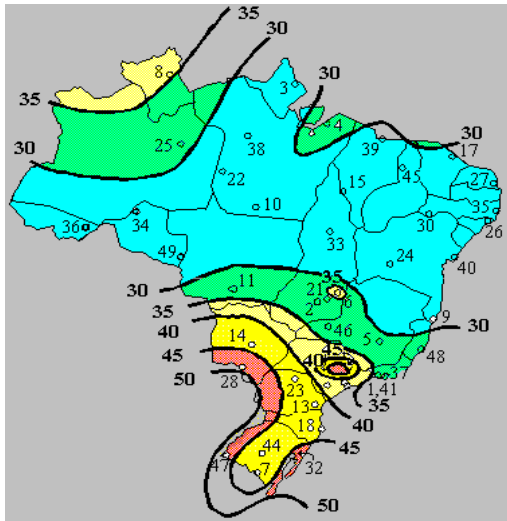
Goiânia's Open Market (2006)





















"Feira da Cidade de Ananindeua, PA (2006)
Arch. José Maria Coelho Bassalo and Flávio Campos do Nascimento



"Feira da Cidade de Ananindeua, PA (2006)
Arch. José Maria Coelho Bassalo and Flávio Campos do Nascimento

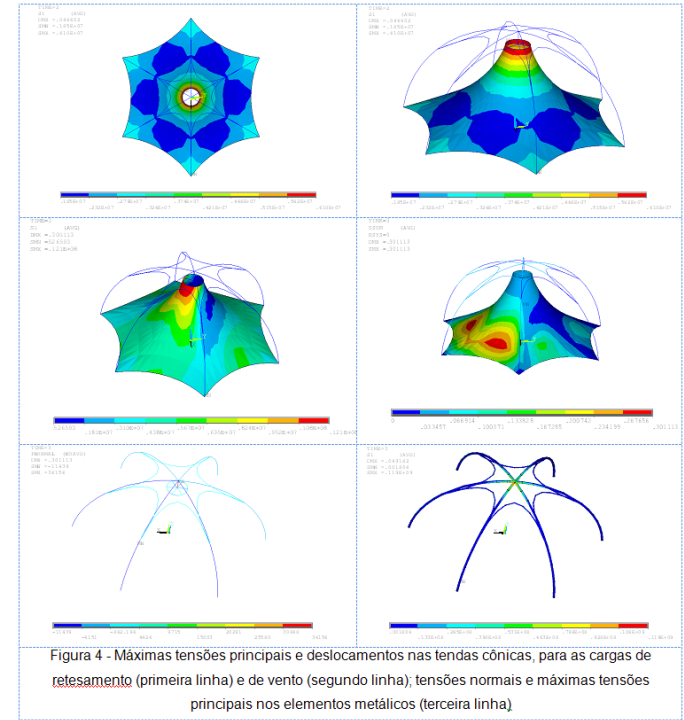


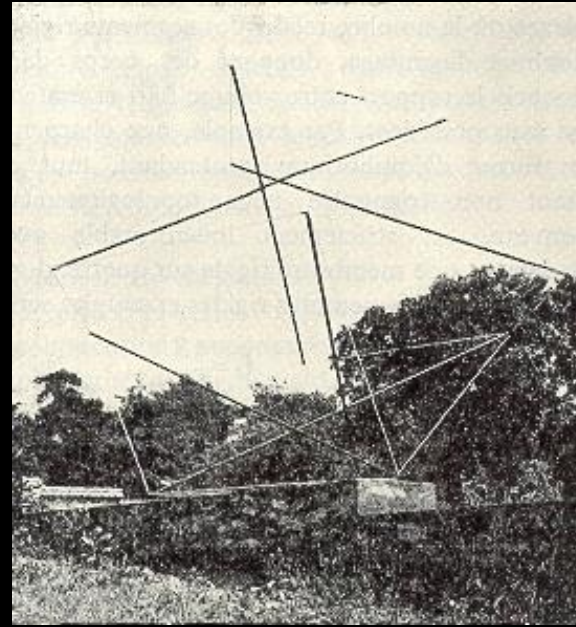
Figura 4 - Máximas tensões principais e deslocamentos nas tendas cônicas, para as cargas de refletamento (primeira linha) e de vento (segundo linha); tensões normais e máximas tensões principais nos elementos metálicos (terceira linha)

"Feira da Cidade de Ananindeua, PA (2006)
Arch. José Maria Coelho Bassalo and Flávio Campos do Nascimento

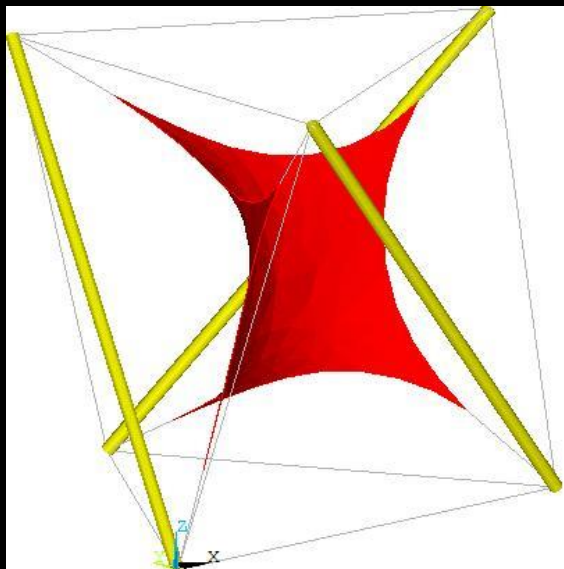
Tensegrities



Needle Tower,
K. Snelson, 1948



The Monument to
the Futile Form,
D. Emmerich, 1966

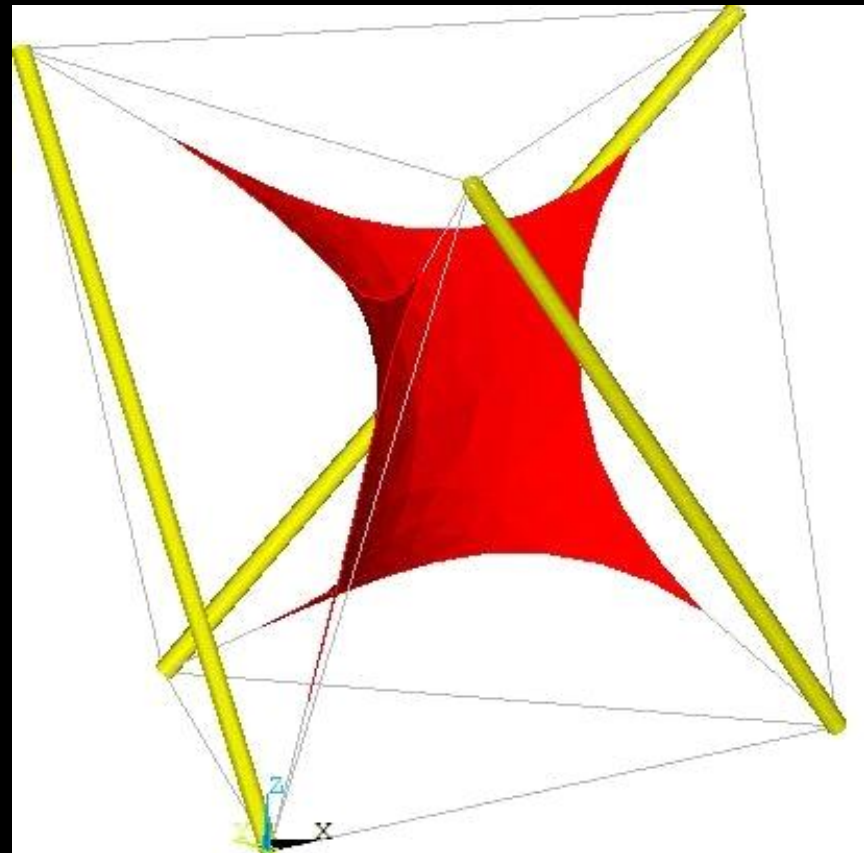


The Monument to the
Futile Form II
Titotto, Deifeld, Pauletti,
2003

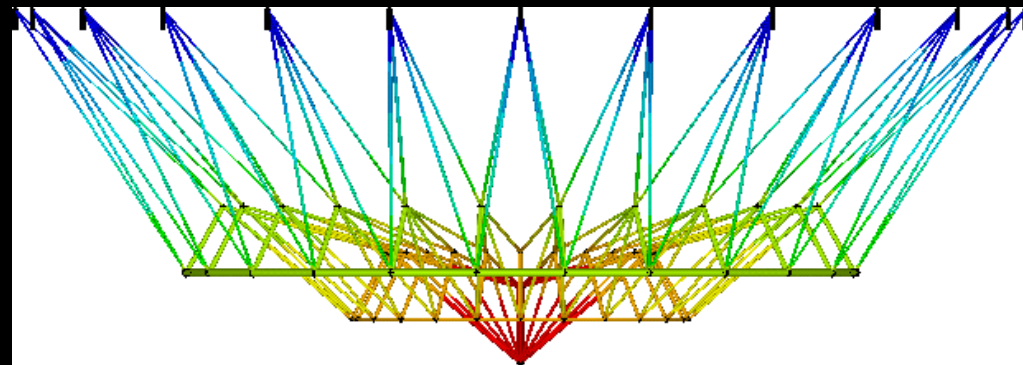
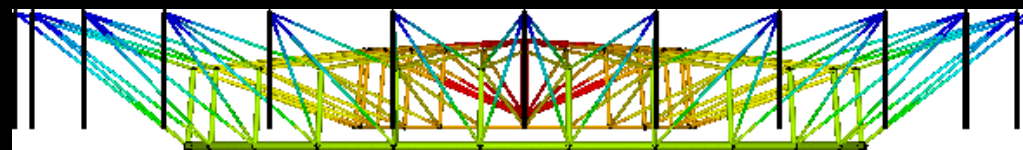
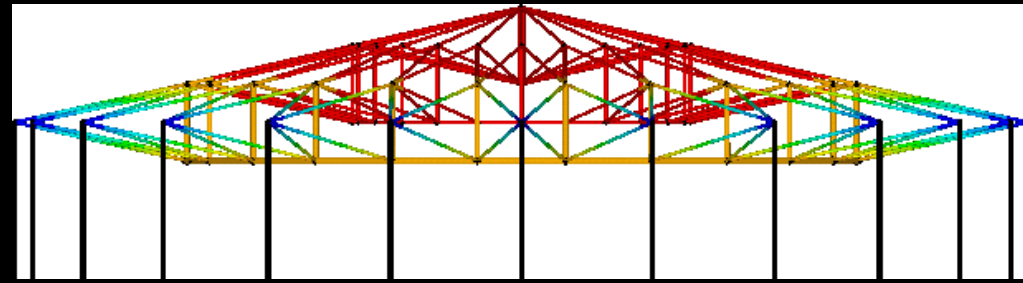
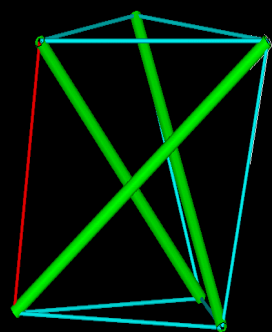
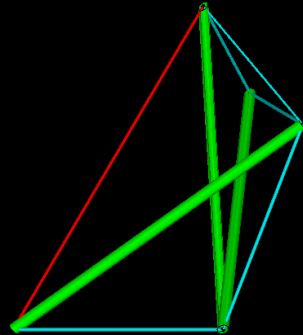
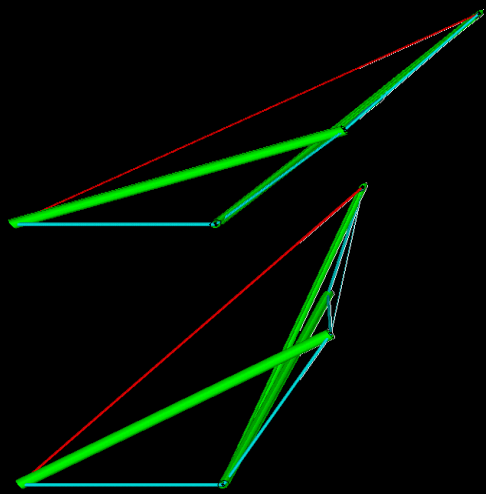


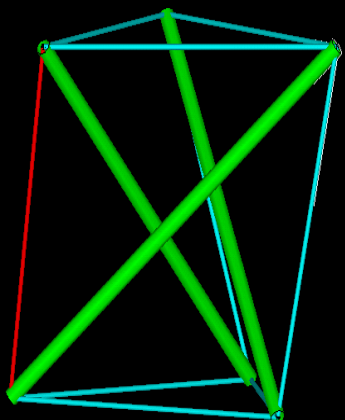


Monument to the Futile Form II (2003)



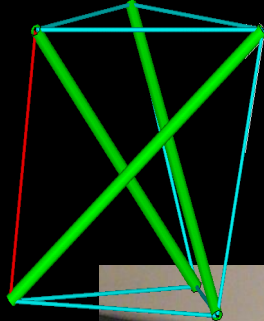






3 days workshop at Università delle Marche (Ancona) (2013)





3 days workshop at Università delle Marche (Ancona) (2013)

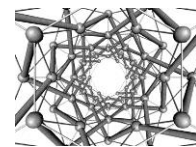
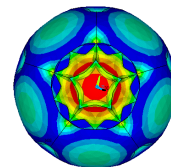


Ruy Marcelo de Oliveira Pauletti & Jung Yun Chi

Polytechnic School - University of São Paulo



***Modeling and Construction of the 'Dodecoid',
an Inflated, Double-Skin Dodecahedron***

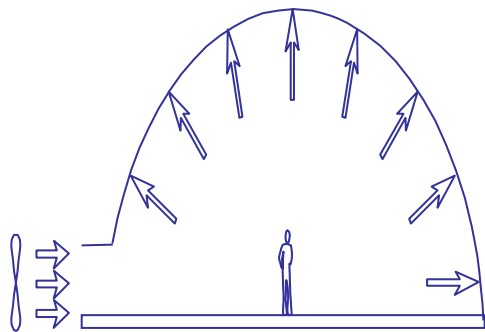


IASS-2004

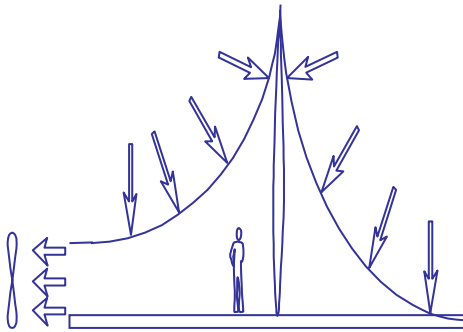
Shell and Spatial Structures: from Models to Realization

Montpellier, 20-24/09/2004

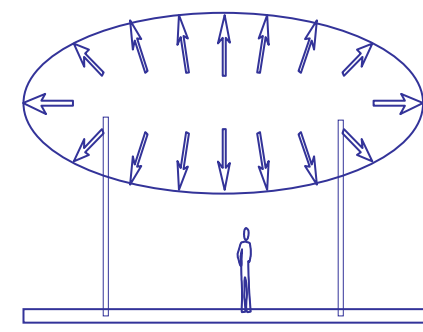
Pneumatic Structures



(a) Insufflated;



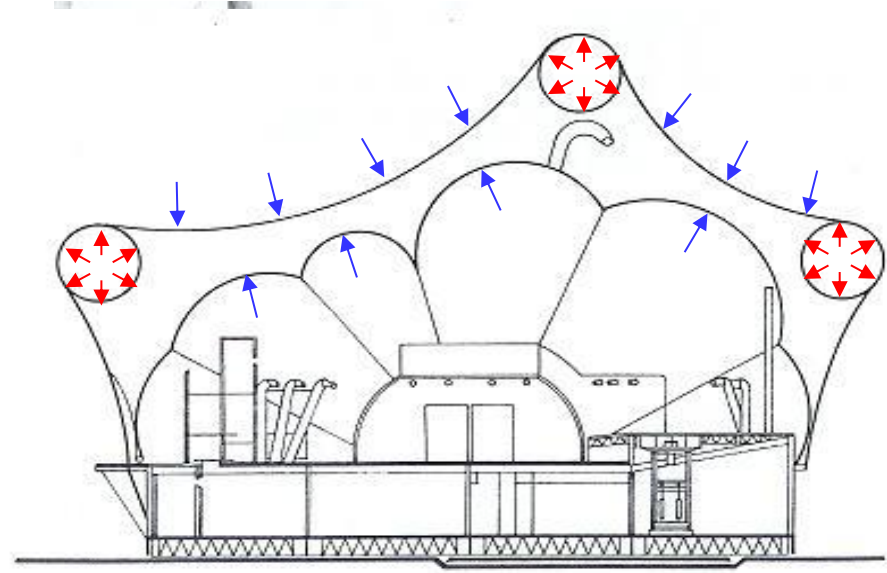
(b) Aspirated;



(c) Inflated



Tokyo "Big-Egg" Dome (1988)



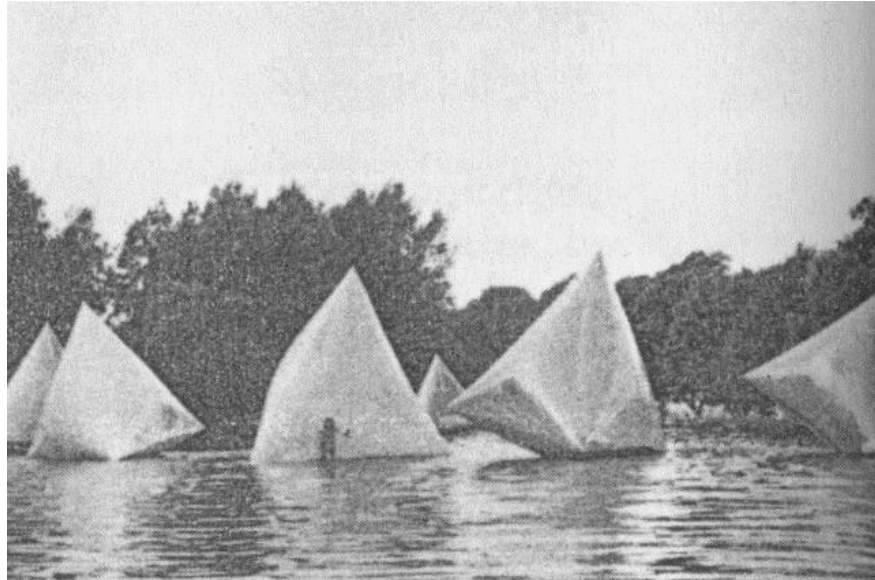
Floating Pavilion (Osaka, 1970)

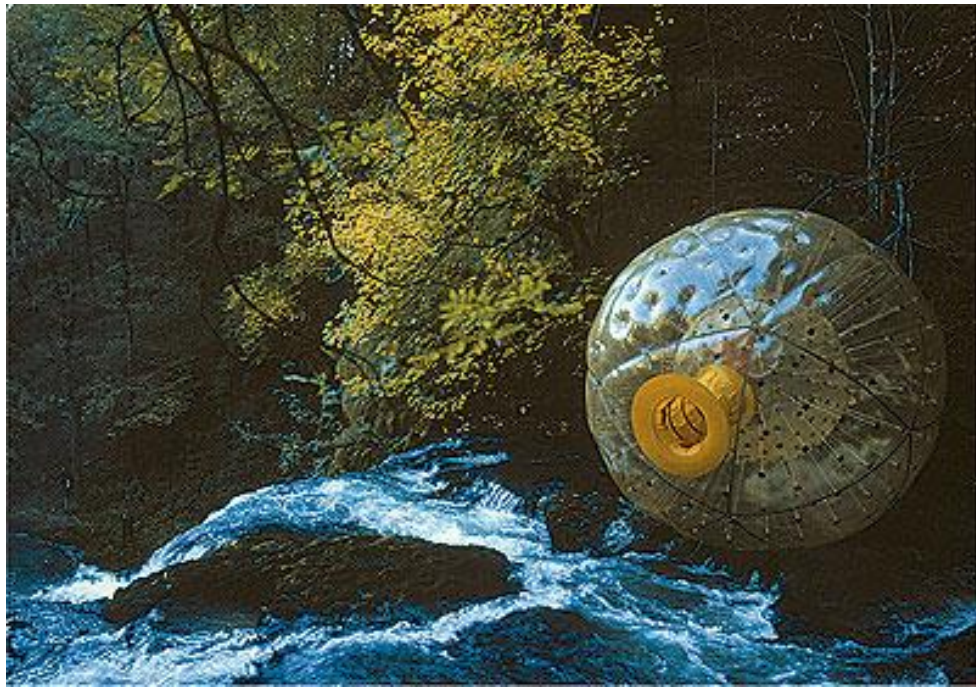


Inflated tetrahedron 'walking machine'

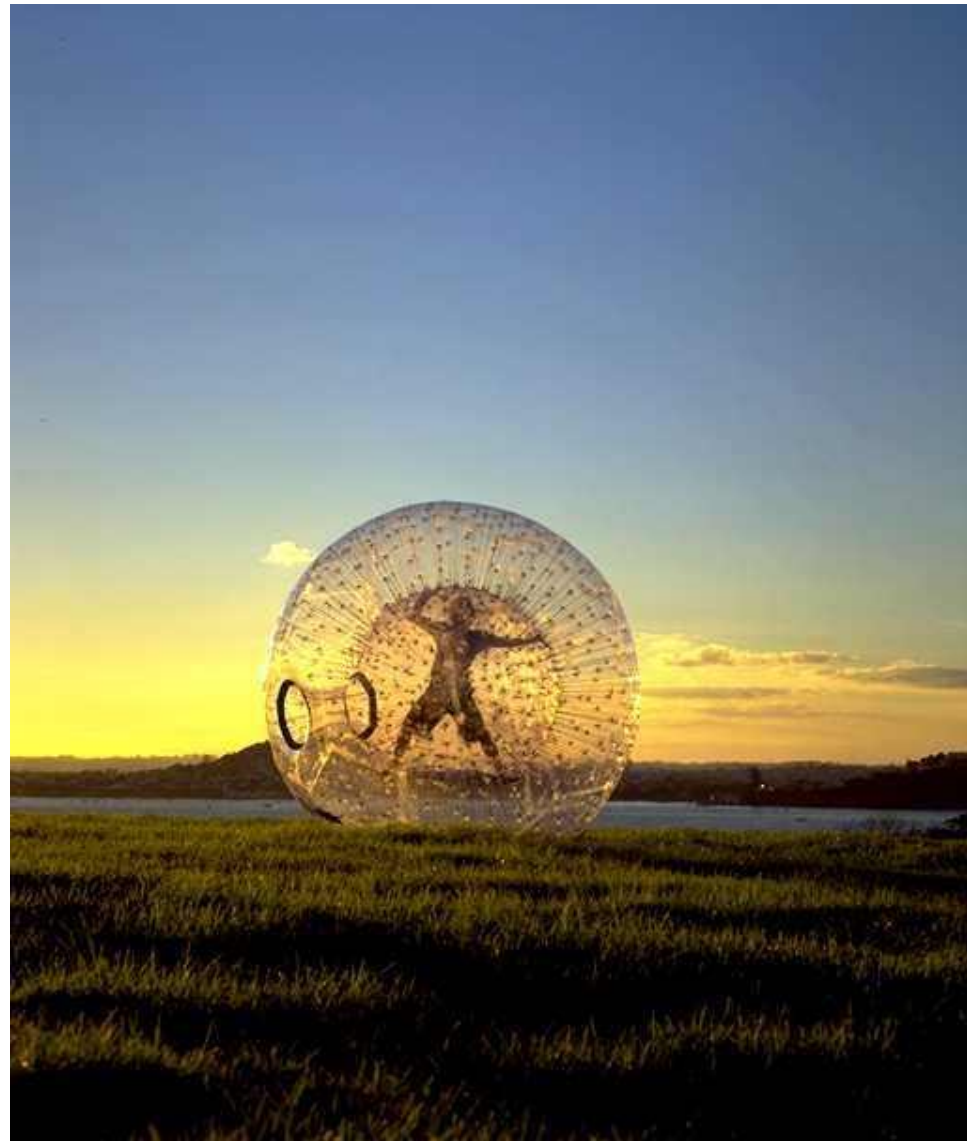
Eventstructure Research Group, 1968.

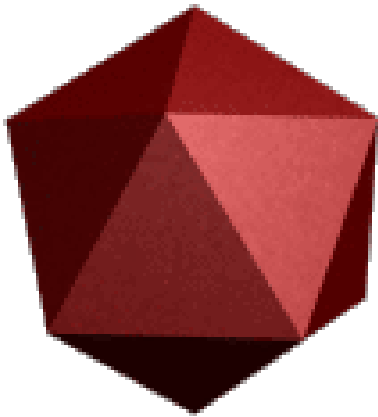
*0.5 mm thick transparent or translucent PVC foils;
watertight zip fastened entrances.*





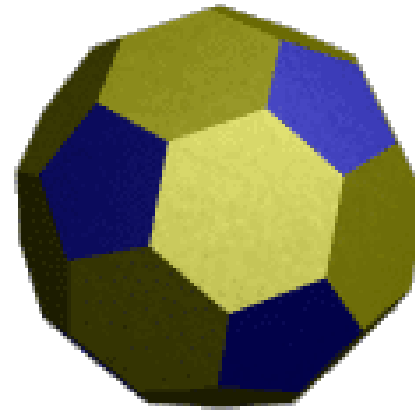
*La Balulle -
Gilles Ebersolt, France
(1973 – 1985)*





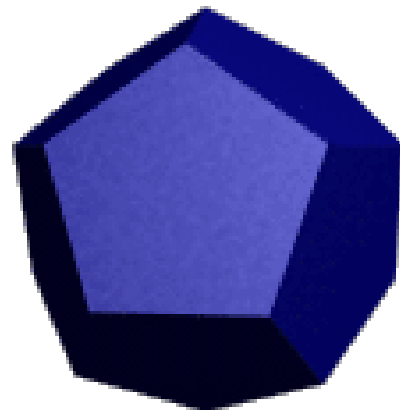
Icosahedron

Faces: 20
Edges: 30
Vertices: 12



**truncated
icosahedron**

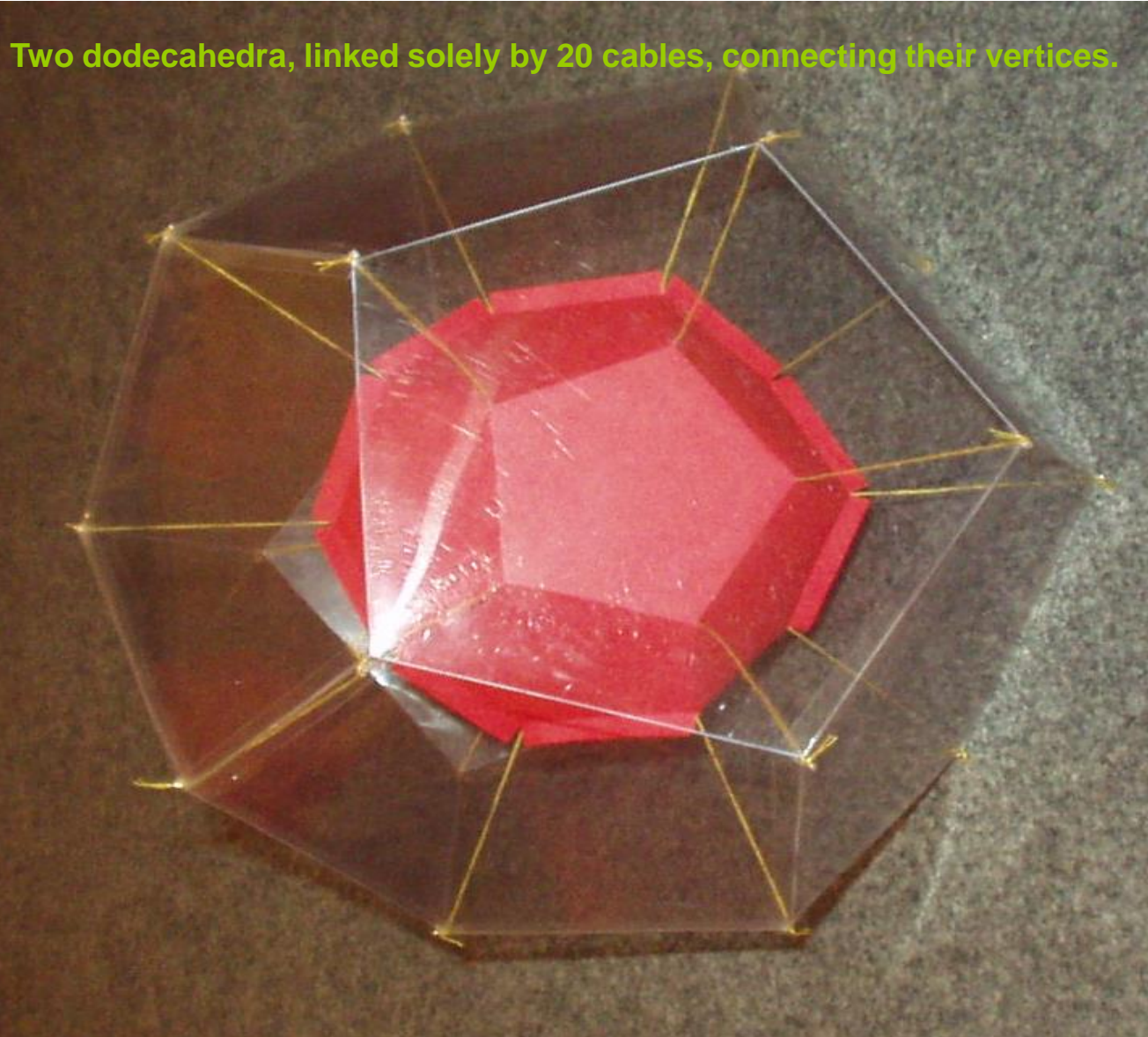
Faces: 32
Edges: 90
Vertices: 60

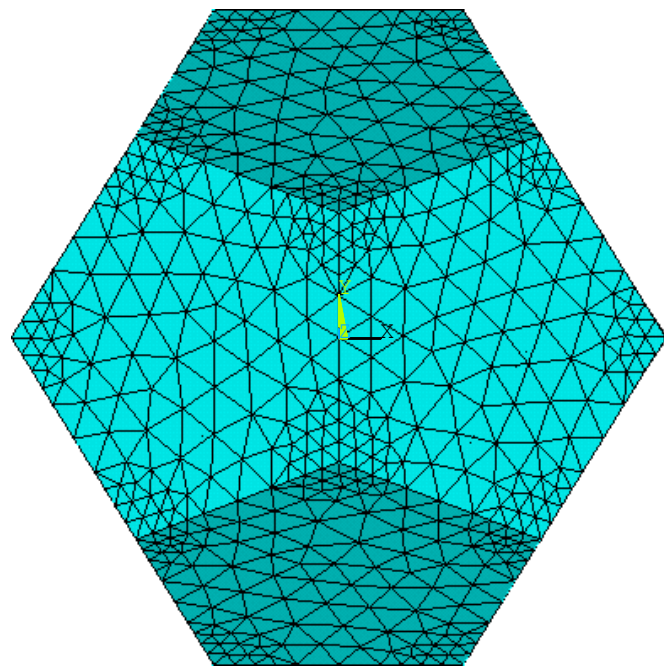
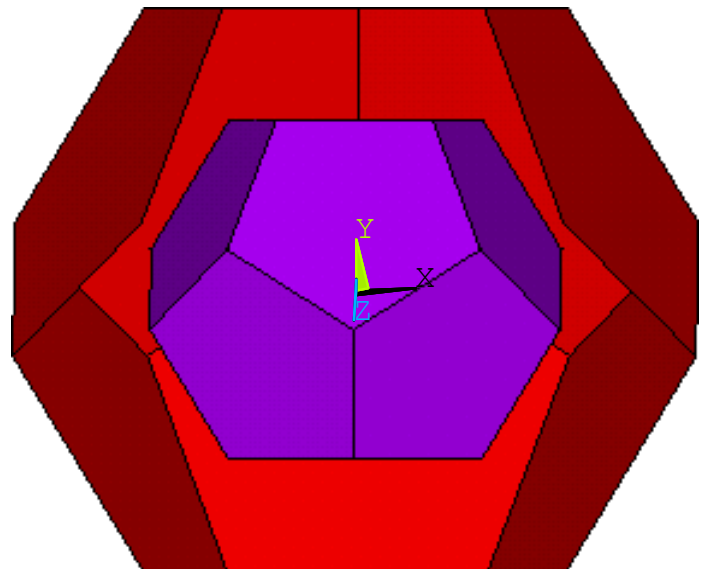


Dodecahedron

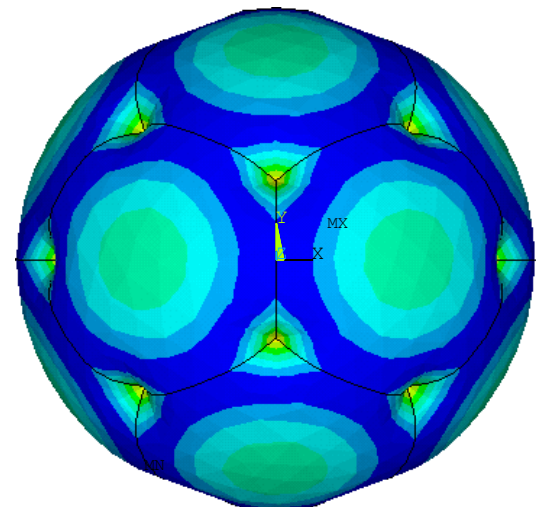
Faces: 12
Edges: 30
Vertices: 20

The “Dodecoid”

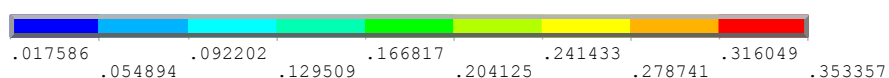
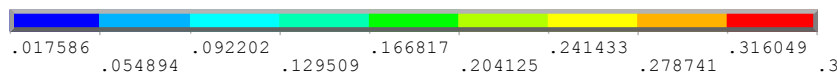
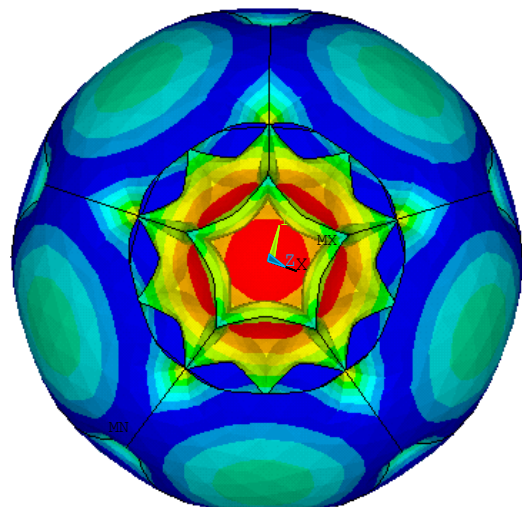


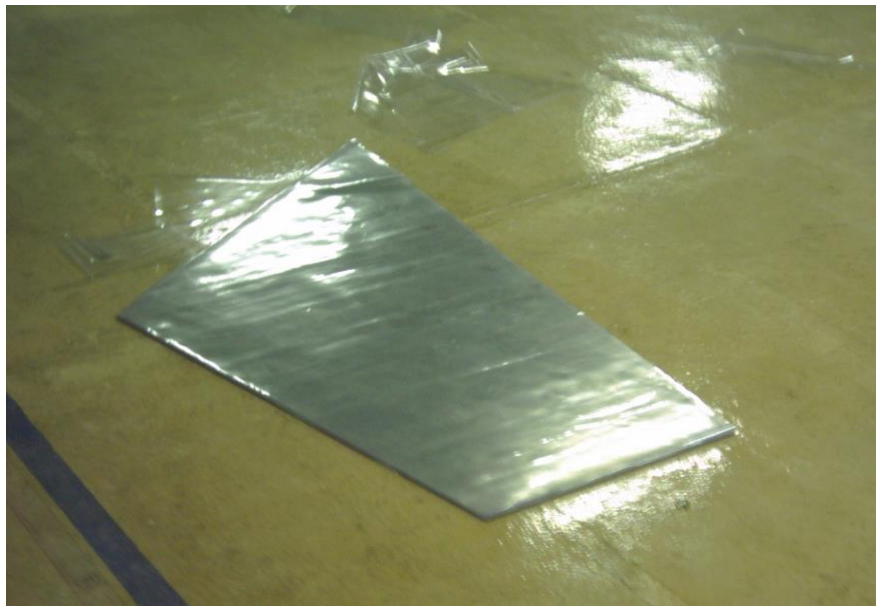


TIME=2
USUM (AVG)
RSYS=0
DMX = .353357
SMN = .017586
SMX = .353357

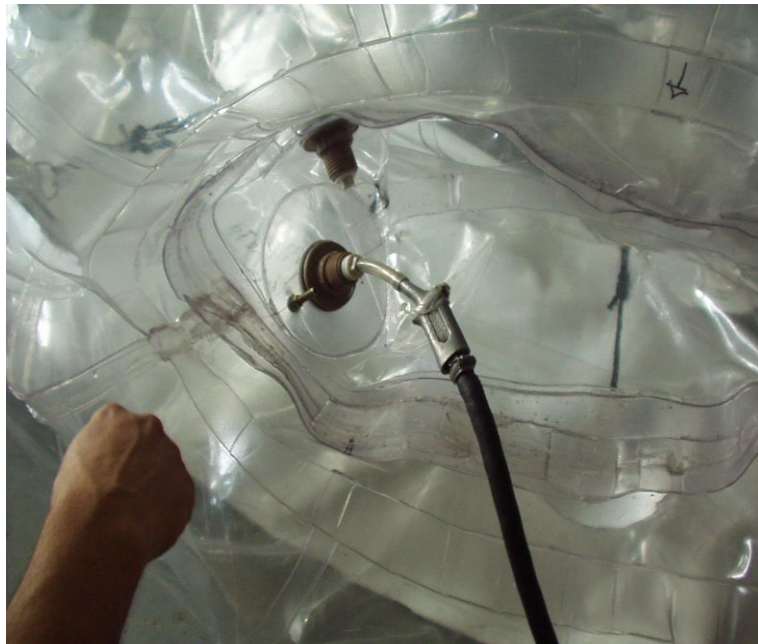


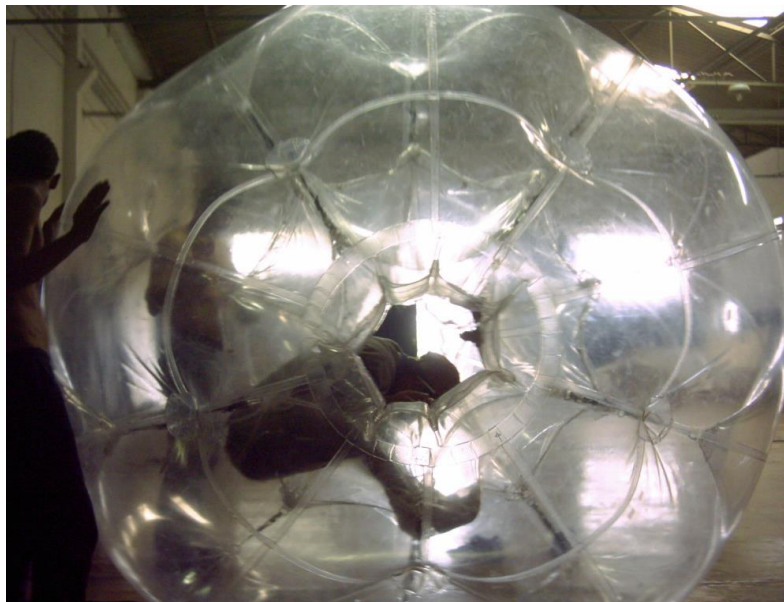
TIME=2
USUM (AVG)
RSYS=0
DMX = .353357
SMN = .017586
SMX = .353357





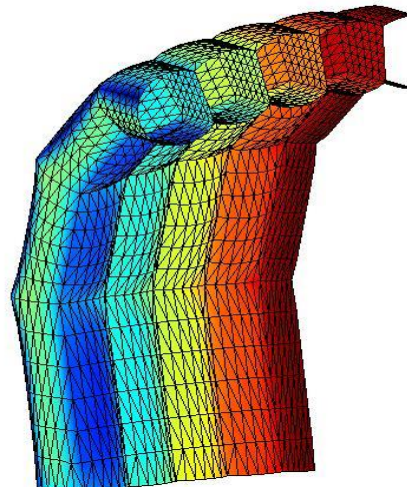
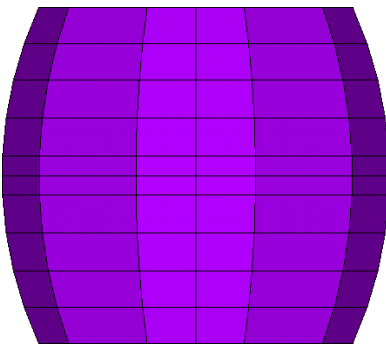
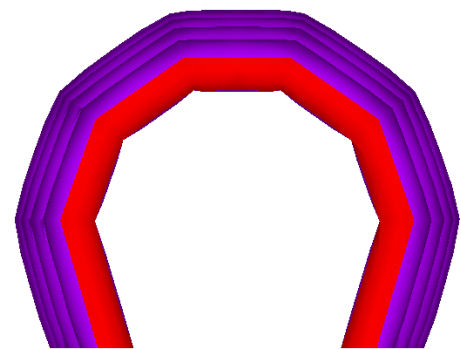
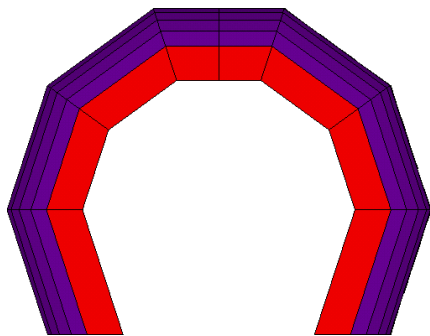
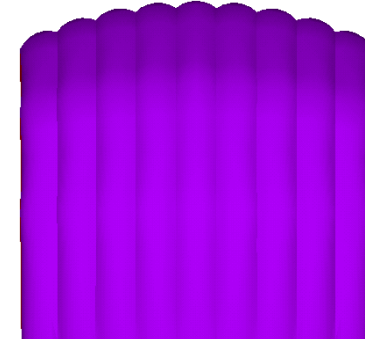
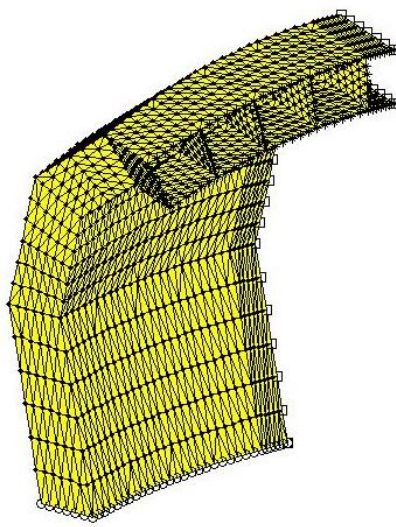
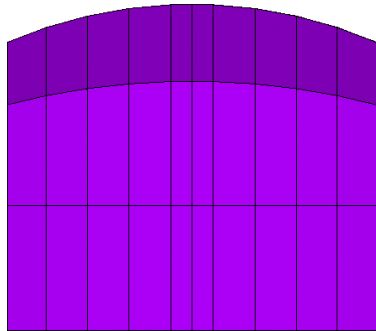


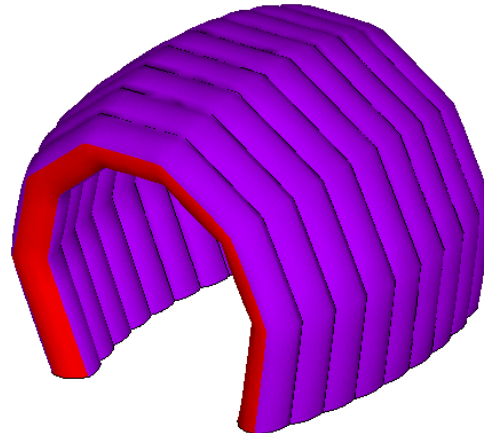
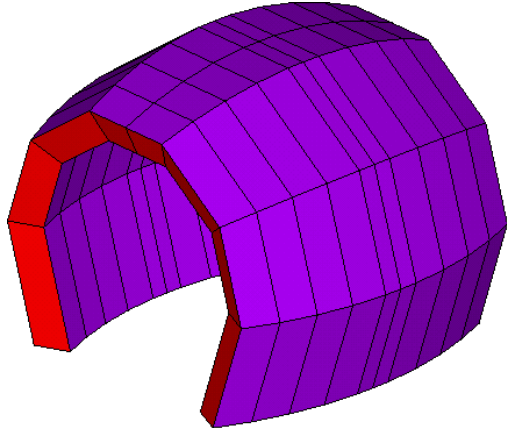






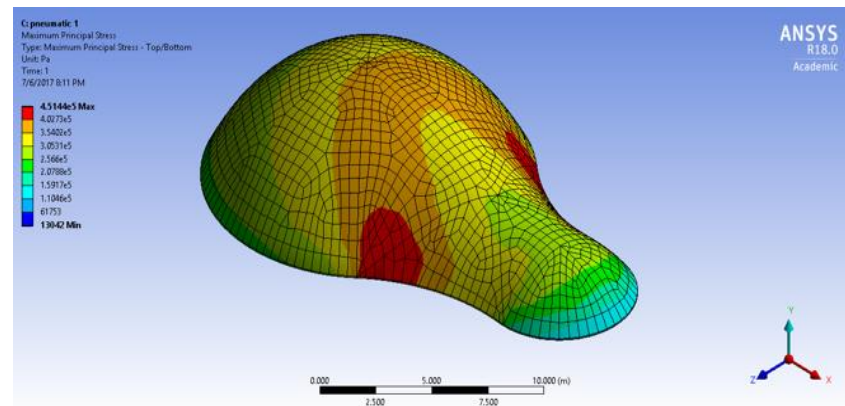
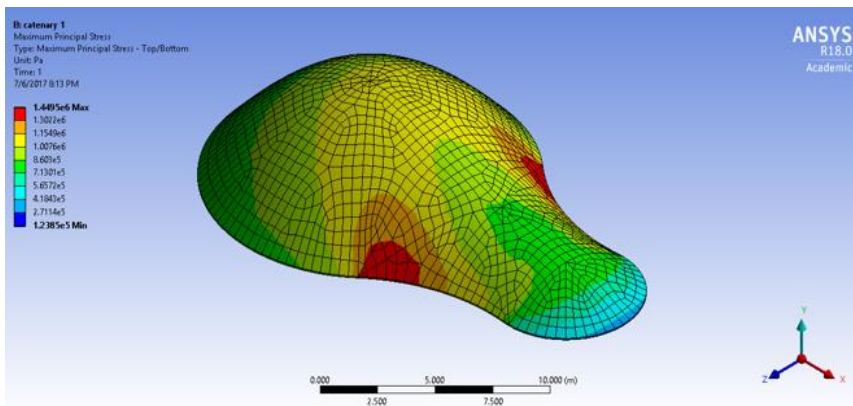
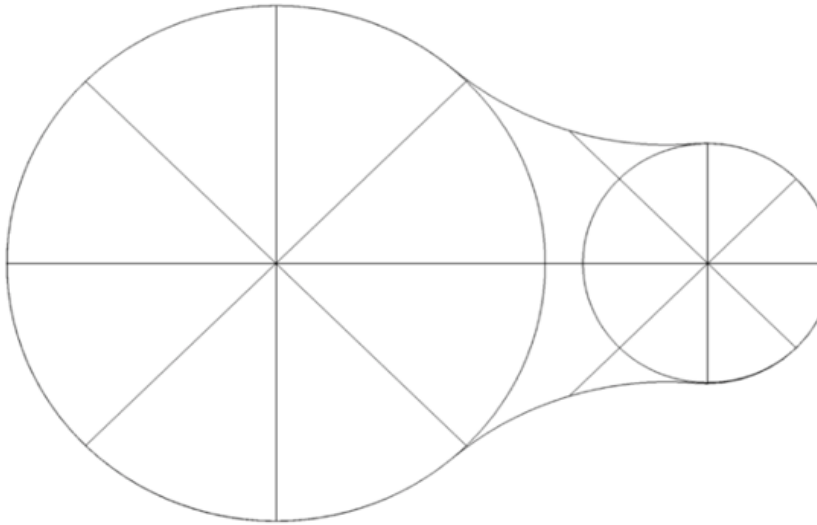
A pneumatic dome (2005)





Pneumatic Formworks: Formfinding with ANSYS

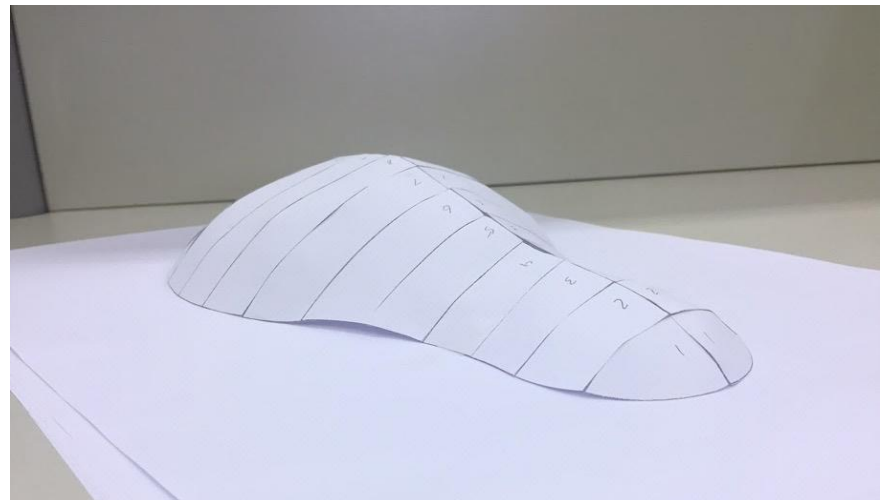
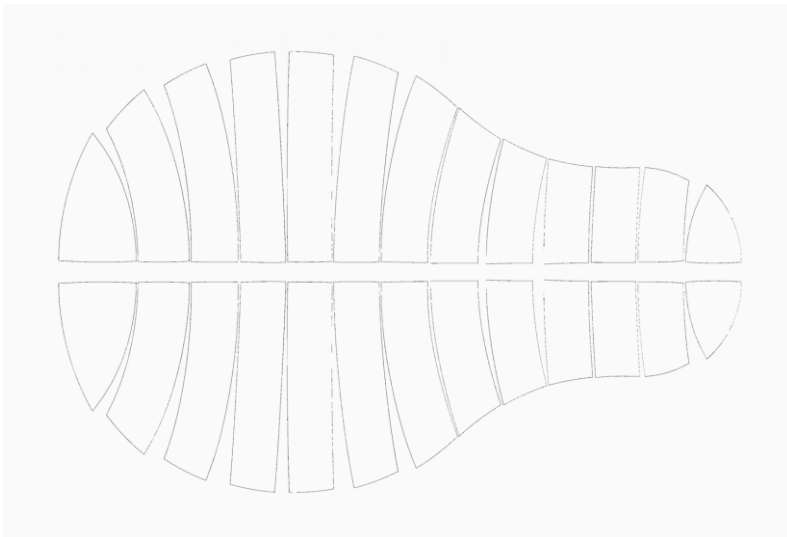
(Nyema Watson, 2017)



Physical Model

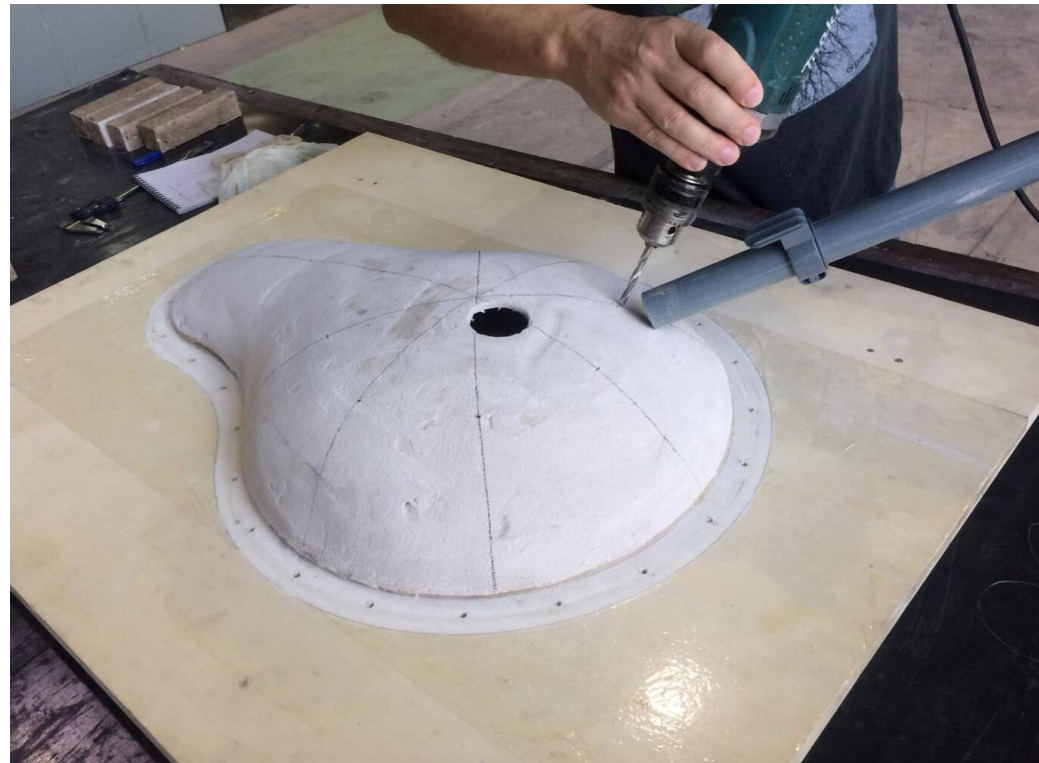
(Neyma Watson, Leila Meneghetti, Ruy Pauletti, 2017)

Patterning: making a 3D surface



Physical Model

(Neyma Watson, Leila Meneghetti, Ruy Pauletti, 2017)



Sliding Cables and Wrinkling



Pneumatic envelope for 'Angra III' ground preparation

(September 2009)

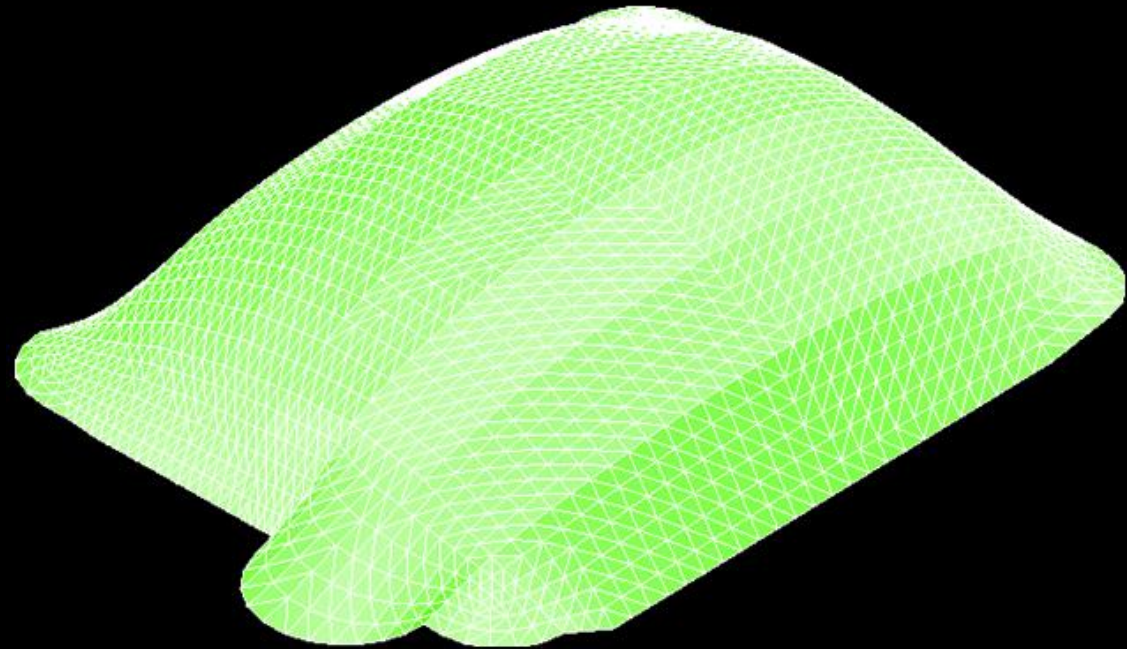
Sliding Cables and Wrinkling



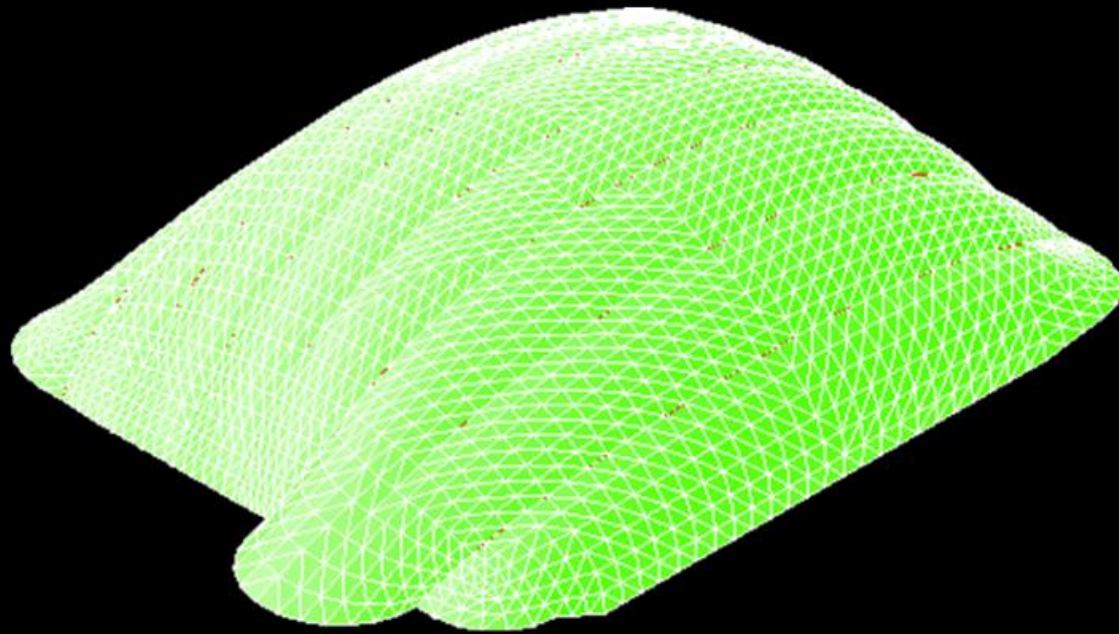
Pneumatic envelope for 'Angra III' ground preparation

(September 2009)





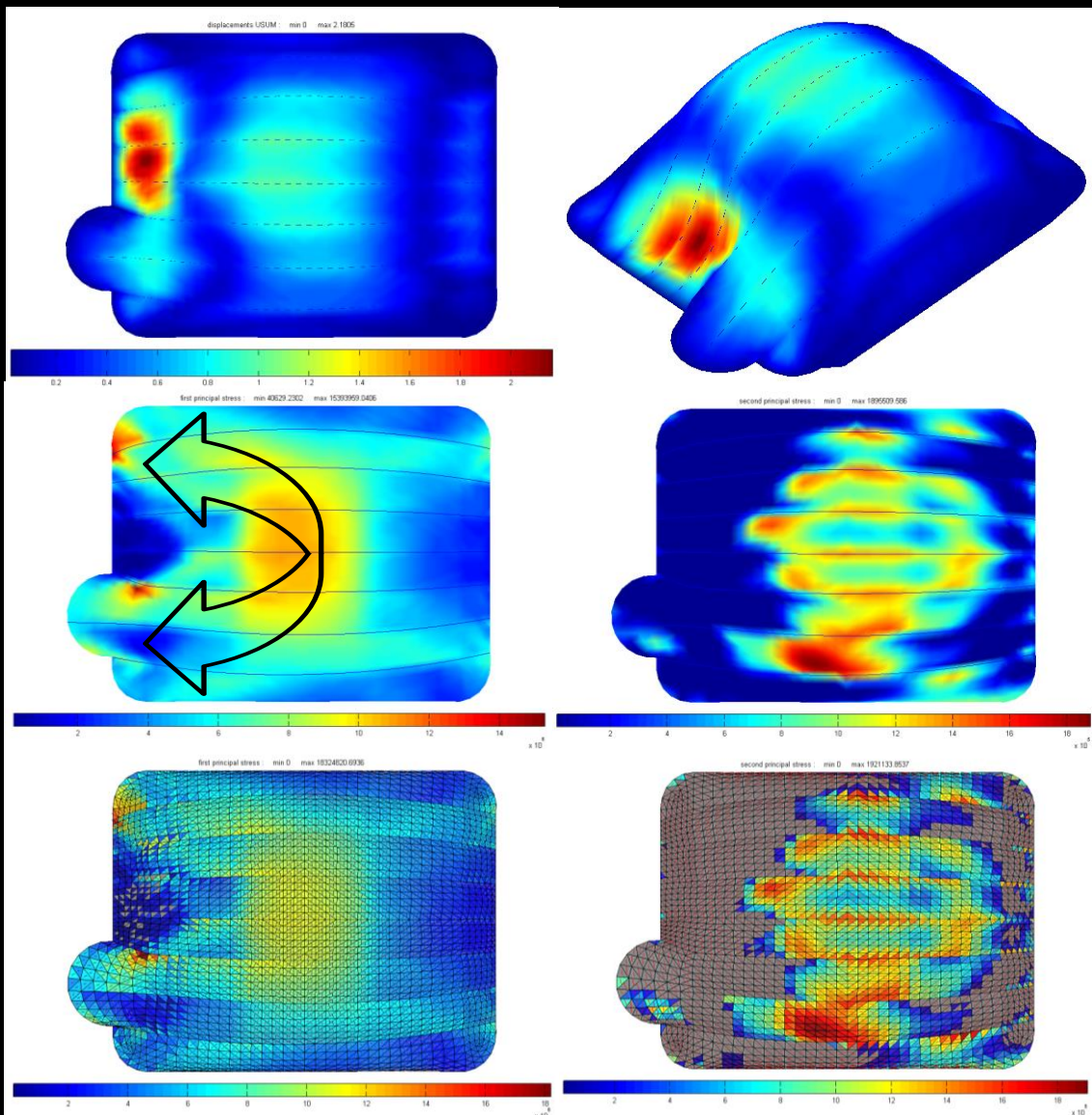
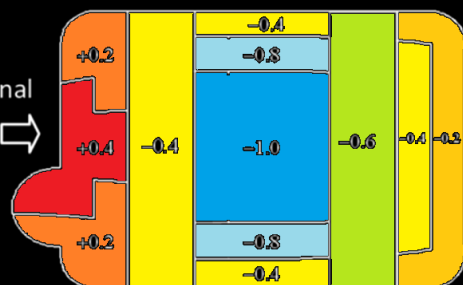
Initial mesh modeled in SATS



equilibrium geometry under internal pressure

Longitudinal wind, adherent cables

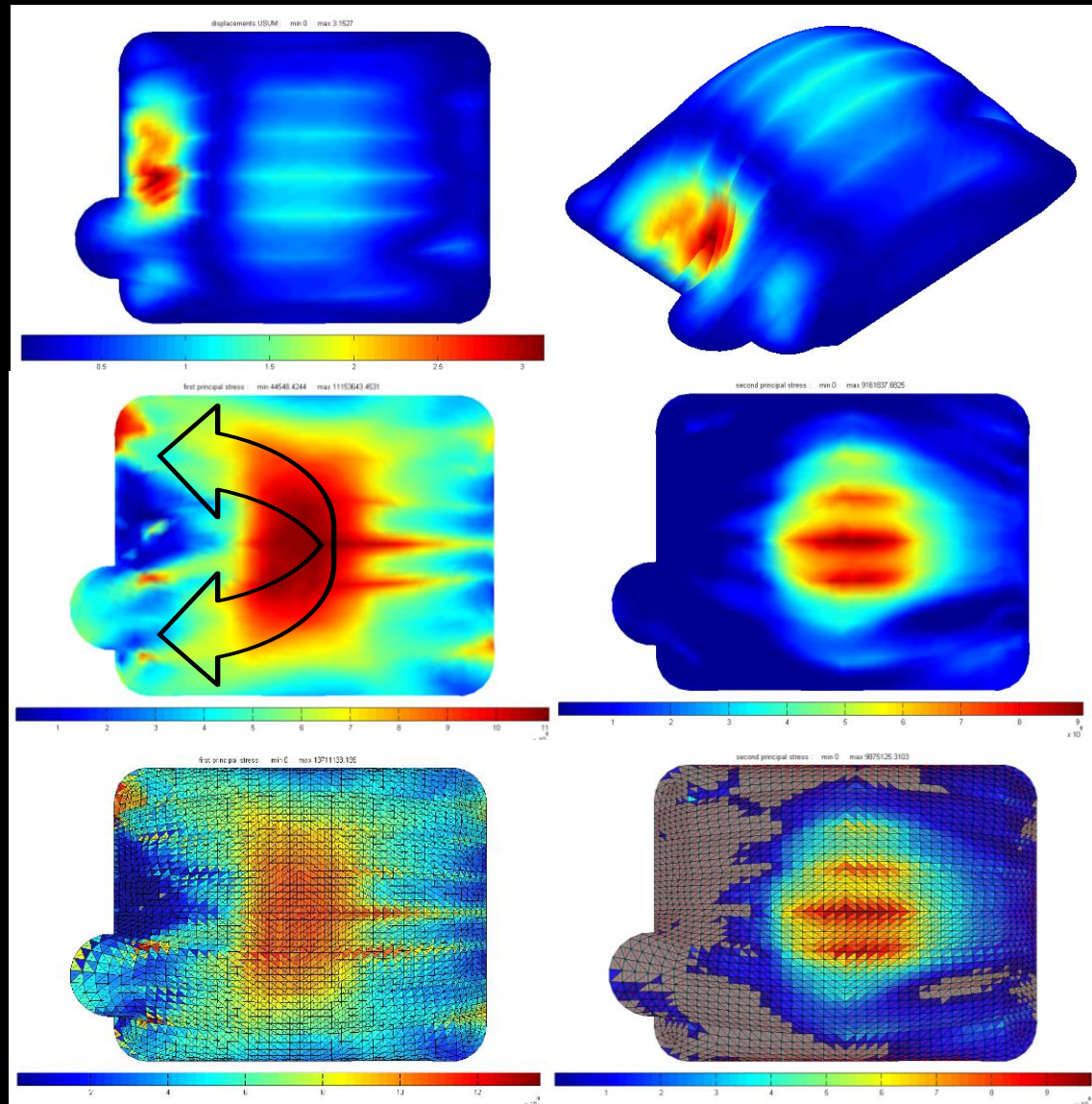
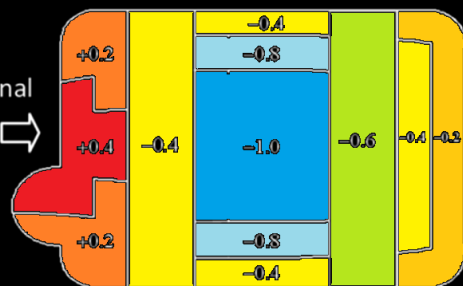
Longitudinal
Wind



(a) field of displacement norms; (b) *idem*, isometric view; (c) stress field; (d) stress field.

Longitudinal wind, sliding cables

Longitudinal
Wind



(a) field of displacement norms; (b) *idem*, isometric view; (c) stress field; (d) stress field.

CENPES II – Rio de Janeiro, 2010

Archs. Ziegbert Zenettini, Wagner Garcia





CENPES II

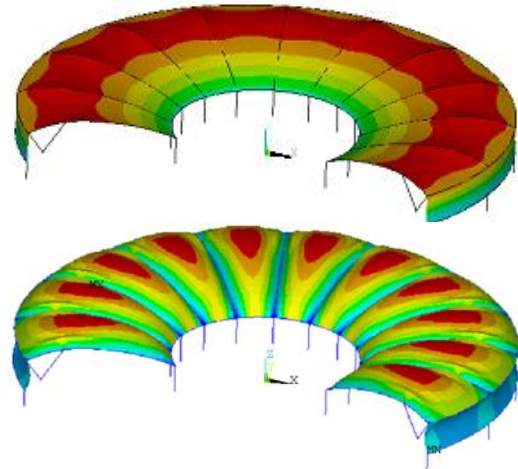
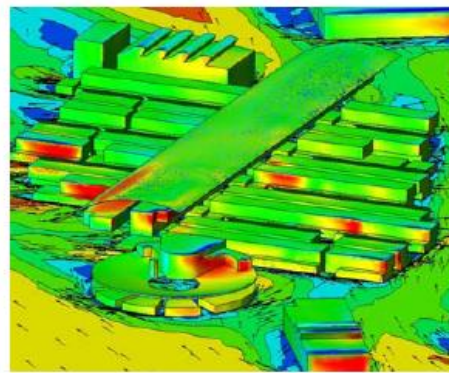
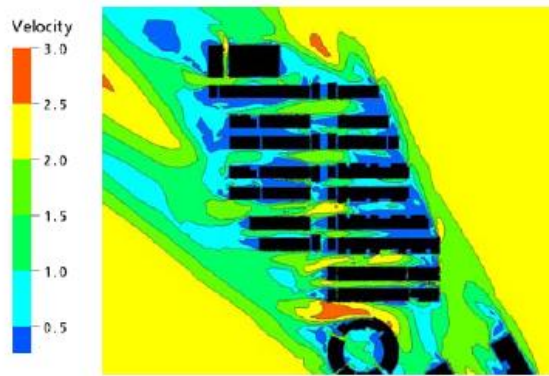
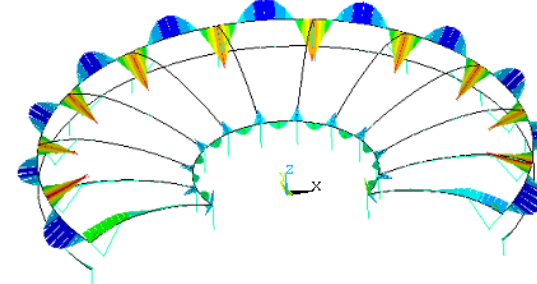
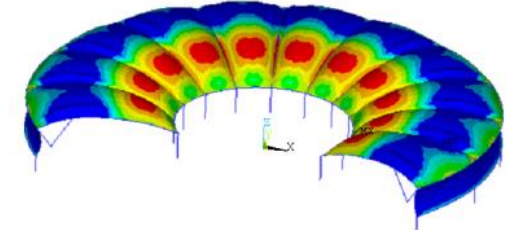
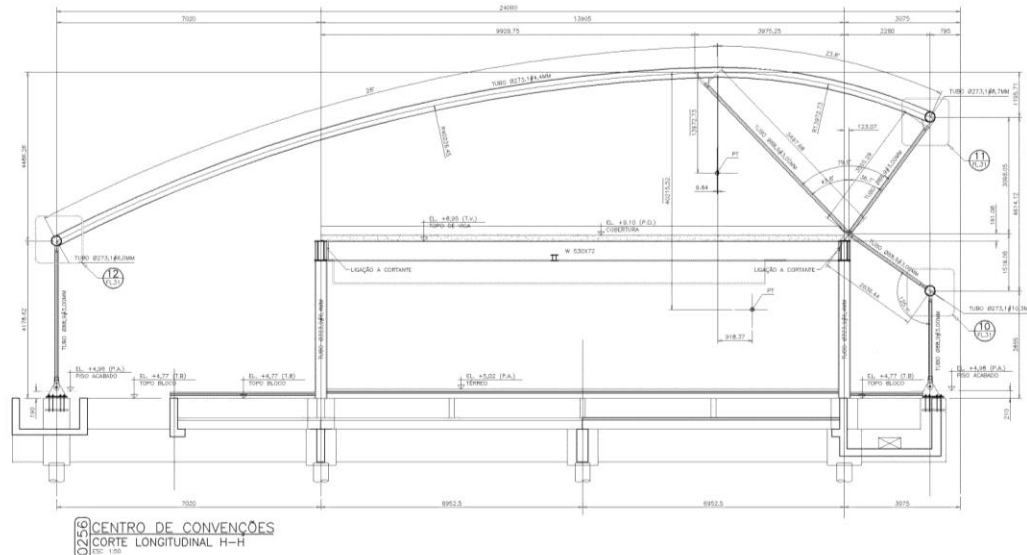
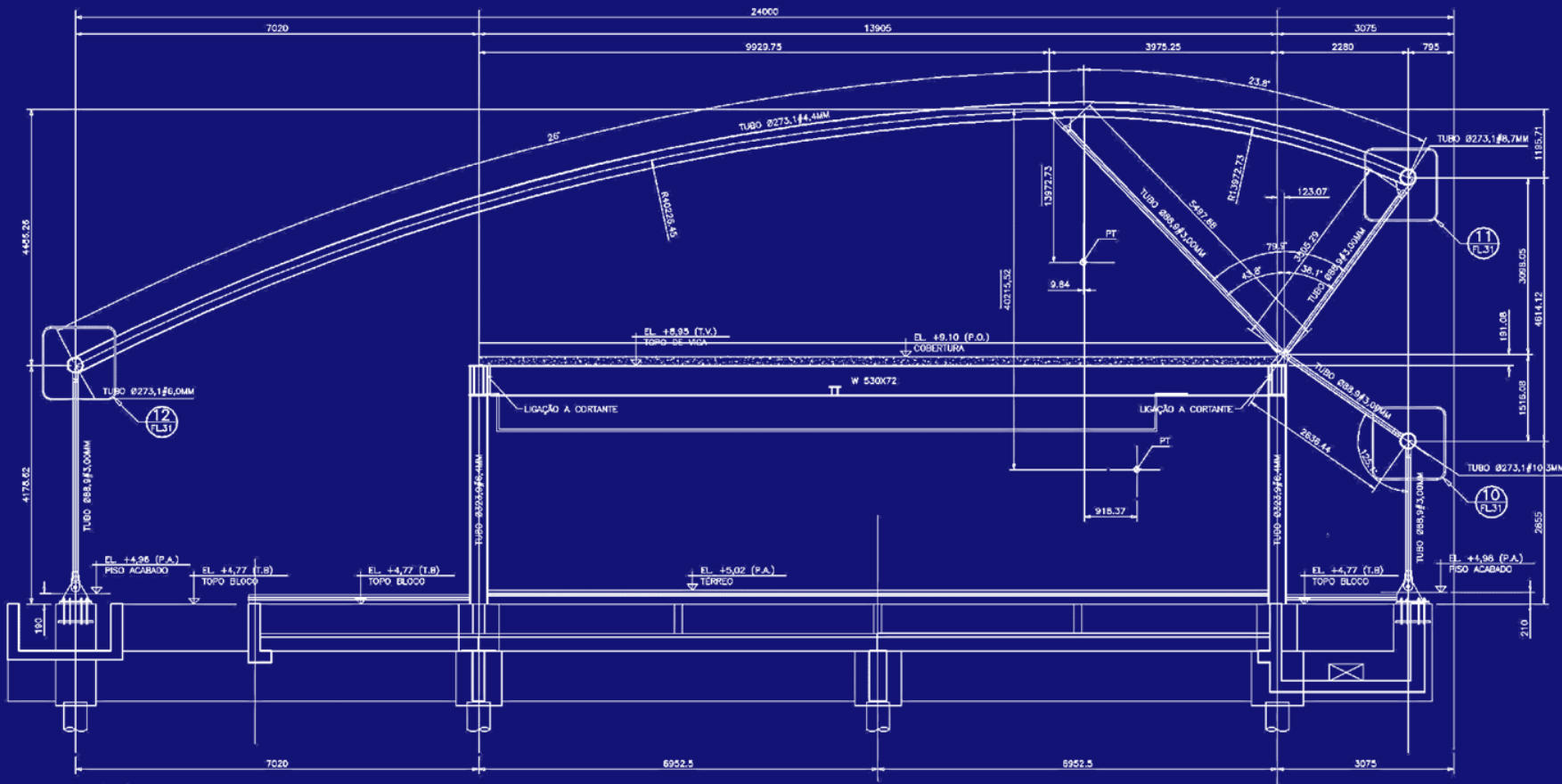


Figura 4 – À esquerda, distribuição da velocidade do vento no nível do pedestre, a 1,5m. Observar escala de velocidades de 0m/s a 3m/s. À direita, distribuição de pressões de vento sobre as envoltórias.





0256 CENTRO DE CONVENÇÕES
CORTE LONGITUDINAL H-H
ESC 1:50



Membranes on top of 'Morro da Urca', Rio de Janeiro, 2014

Designers:

(1) Nelson Fielder

(2) Pedro Marcelo Pain de Santana







Olympic Golf Field, Rio de Janeiro, 2016



Olympic Golf Field, Rio de Janeiro, 2016



Olympic Golf Field, Rio de Janeiro, 2016



EP-USP

PEF2602

Estruturas na Arquitetura I I - Sistemas Reticulados



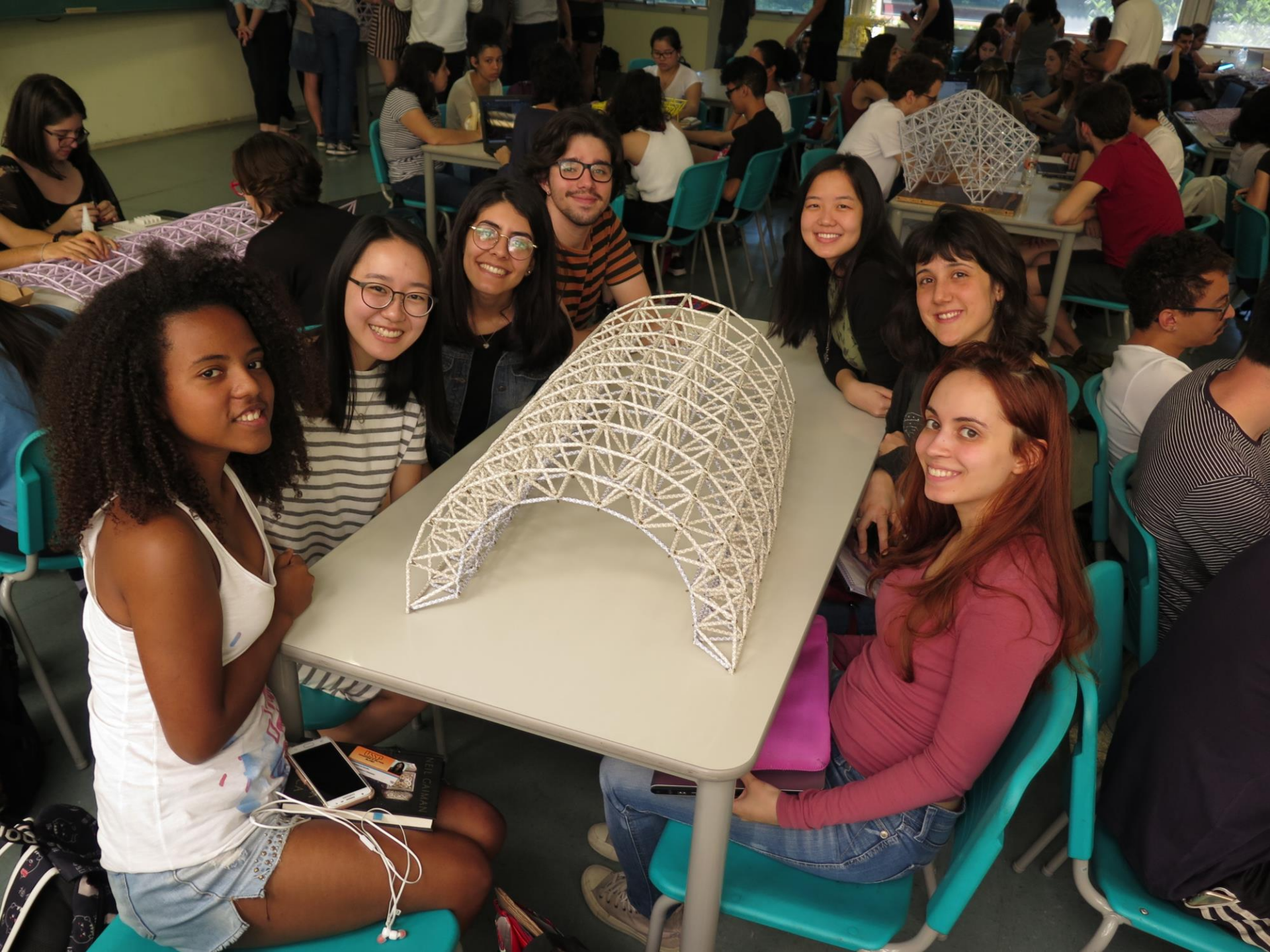
2º Trabalho em Grupo

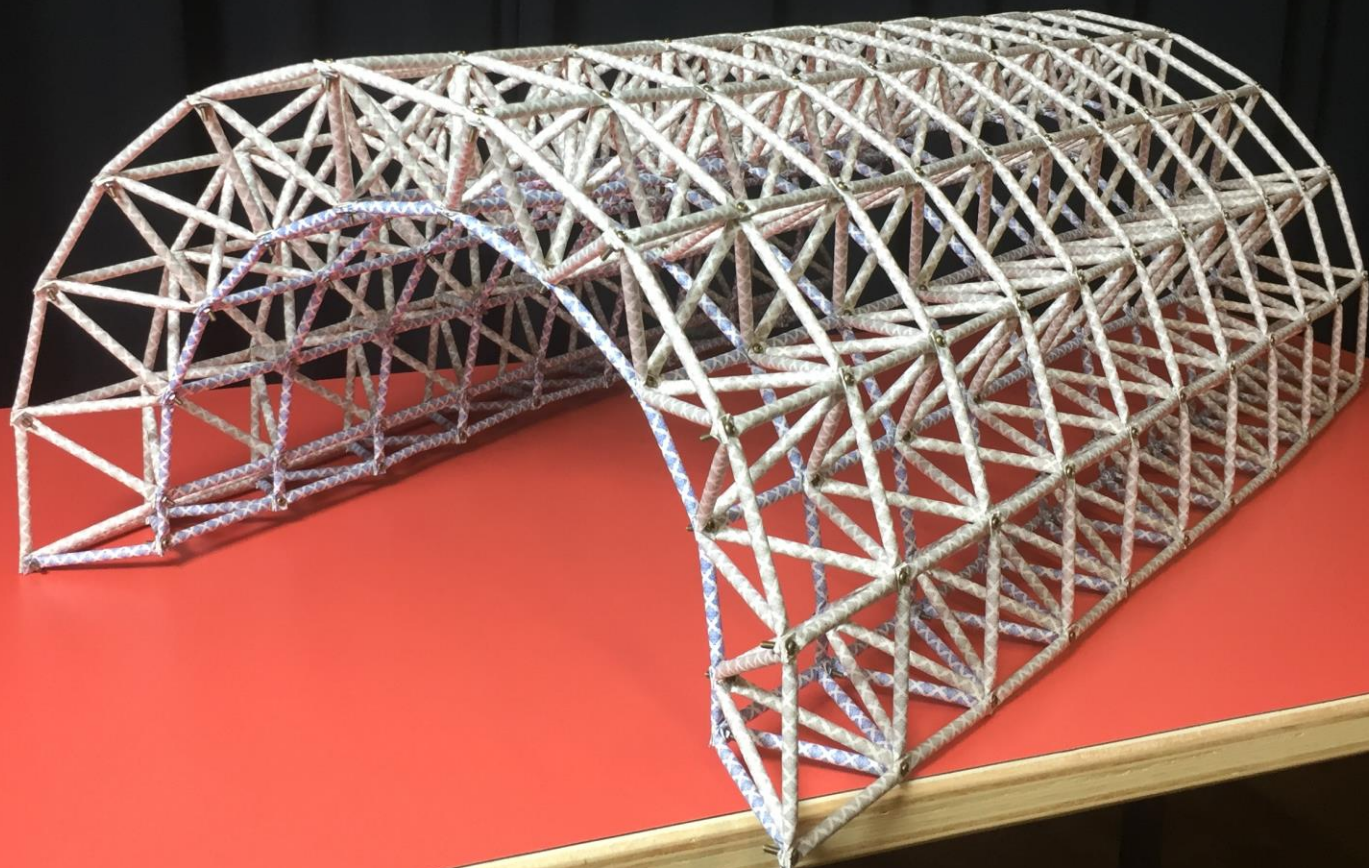
Professores

Ruy Marcelo O. Pauletti, Leila Meneghetti Valverdes, Luís Bitencourt

1º Semestre 2019







DAD Project – University of Surrey , 2014
Prof. Alireza Behnejad



DAD Project – University of Surrey , 2014
Prof. Alireza Behnejad



DAD Project – University of Surrey , 2014
Prof. Alireza Behnejad

